

SIMULASI SINGKAT TUJUH LANGKAH SEM

1. Langkah pertama : Pengembangan Model Teoritis

Model yang dibangun berdasarkan teori yang telah disusun berdasarkan referensi yang kuat. Tentunya Anda telah menyusun model penelitian berdasarkan telaah teoretis yang kuat. Hipotesis:

H1 : Semakin tinggi persepsi terhadap penggunaan produk, semakin tinggi persepsi nilai pelanggan terhadap produk

H2 : Semakin besar pengaruh pergaulan sosial terhadap pemakaian produk, semakin tinggi persepsi nilai pelanggan.

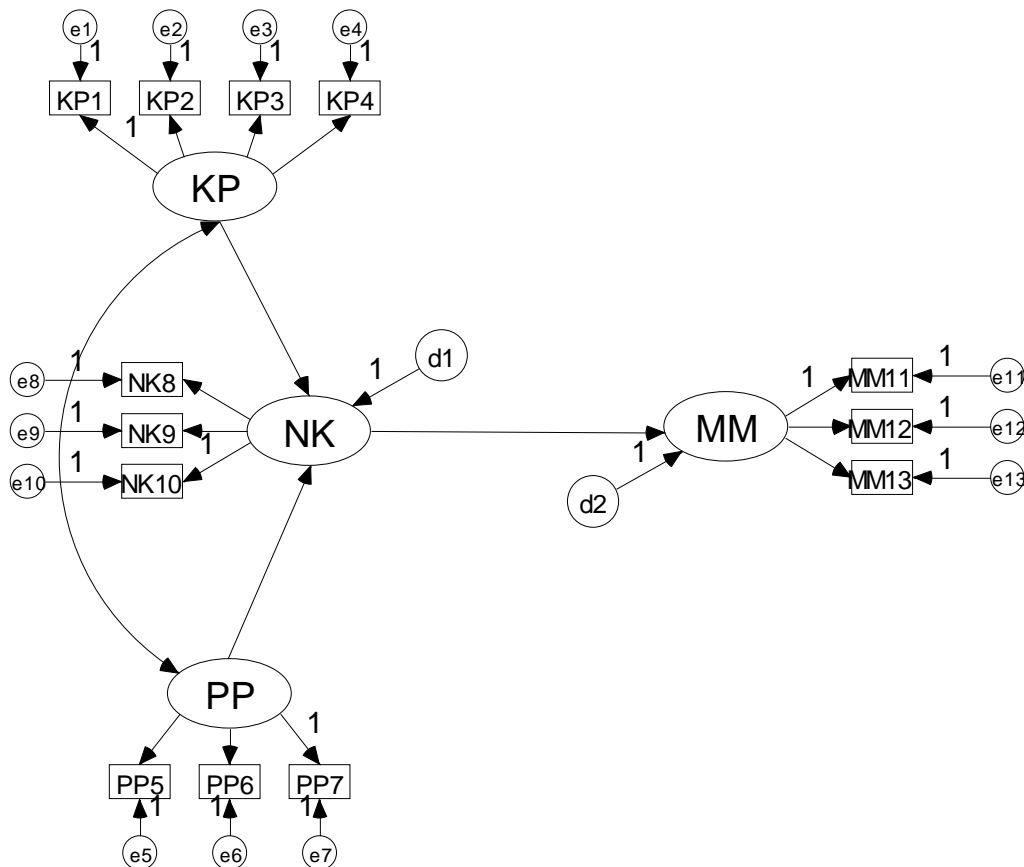
H3 : Semakin tinggi persepsi nilai pelanggan terhadap produk, semakin tinggi minat mereferensikan konsumen terhadap produk.

2. Langkah kedua: Pengembangan Diagram Alur (*Path Diagram*)

Model teoritis yang telah dibangun pada langkah pertama akan digambarkan dalam sebuah diagram alur di bawah. Diagram alur (*path diagram*) tersebut akan mempermudah peneliti melihat hubungan-hubungan kausalitas yang ingin diuji. Dalam SEM (termasuk di dalamnya operasi program AMOS 4.01, dan versi-versi sebelumnya) hubungan kausalitas cukup digambarkan dalam sebuah diagram alur, dan selanjutnya bahasa program akan mengkonversi gambar tersebut menjadi persamaan, dan persamaan menjadi estimasi.

Bentuk kotak pada gambar di atas melambangkan variabel yang diobservasi dengan menggunakan kuesioner. Konstruk KP (Kegunaan Produk) dibentuk dari empat buah indikator (KP1, KP2, KP3 dan KP4) dan masing-masing indikator mempunyai tingkat kesalahan (*error*) sebesar masing-masing e1, e2, e3 dan e4. Demikian juga konstruktur yang lain yang dibentuk dari masing-masing indikatornya. Berikut adalah diagram alur dalam penelitian ini:

Gambar 1
Path Diagram Penelitian



Konstruk yang dituju anak panah merupakan konstruk endogen atau konstruk yang diestimasi oleh konstruk lain. Estimasi tersebut akan menimbulkan tingkat kesalahan tertentu sehingga muncul d . Konstruk NK mempunyai kesalahan estimasi sebesar d_1 karena diestimasi oleh konstruk KP (Kegunaan Produk) dan PP (Pengaruh Pergaulan Sosial), demikian juga konstruk MM (Minat Mereferensikan) mempunyai tingkat kesalahan estimasi sebesar d_2 karena diestimasi oleh NK (Nilai Konsumen). Angka 1 yang terdapat pada setiap *error* merupakan angka *default* atau angka awal yang diperlukan dalam perhitungan program. Sedangkan angka 1 antara indikator ke konstruk yang dibentuk merupakan angka untuk menspesifikasi skala pengukuran.

Tanda satu anak panah (\rightarrow) menghubungkan antara konstruk eksogen dan konstruk endogen yang mencerminkan hubungan kausalitas yang akan diuji hipotesisnya. Sehingga terdapat tiga buah anak panah (\rightarrow) yaitu antara KP terhadap NK ($NK \leftarrow KP$), antara PP terhadap NK ($NK \leftarrow PP$) dan antara NK terhadap MM ($MM \leftarrow NK$). Tanda dua anak

panah (\leftrightarrow) melambangkan korelasi antara dua konstruk eksogen, yaitu antara KP dengan PP.

3. Langkah ketiga: Konversi Diagram Alur ke dalam Persamaan Struktural dan Model Pengukuran

Setelah teori/model teoritis dikembangkan dan digambarkan dalam sebuah diagram alur, langkah selanjutnya adalah mengkonversi/mengubah spesifikasi model tersebut ke dalam rangkaian persamaan. Persamaan jalur dari model diagram alur dinyatakan sebagai berikut:

$$NK = \beta_1 KP + \beta_2 PP + d_1$$

$$MM = \beta_3 NK + d_2$$

Keterangan:

KP = Kegunaan Produk

PP = Pengaruh Pergaulan Sosial

NK = Nilai Konsumen

MM = Minat Mereferensikan

β = Koefisien

d = Kesalahan estimasi

Sebagai ilustrasi, konstruk NK diestimasi oleh konstruk KP dan PP dengan koefisien β_1 dan β_2 serta mempunyai tingkat kesalahan estimasi sebesar d_1 . Demikian juga dengan persamaan yang lain.

Sedangkan persamaan untuk spesifikasi terhadap model pengukuran adalah sebagai berikut:

Konstruk Eksogen KP

$$KP_1 = \lambda_1 KP + e_1 \quad KP_3 = \lambda_3 KP + e_3$$

$$KP_2 = \lambda_2 KP + e_2 \quad KP_4 = \lambda_4 KP + e_4$$

Konstruk eksogen PP

$$PP_5 = \lambda_5 AP + e_5 \quad PP_7 = \lambda_7 PP_7 + e_7$$

$$PP_6 = \lambda_6 AP + e_6$$

Konstruk endogen NK

$$NK_8 = \lambda_8 NK + e_8 \quad NK_{10} = \lambda_{10} NK + e_{10}$$

$$NK_9 = \lambda_9 NK + e_9$$

Konstruk endogen MM

$$MM_{11} = \lambda_{11} MM + e_{11} \quad MM_{13} = \lambda_{13} MM + e_{13}$$

$$MM_{12} = \lambda_{12} MM + e_{12}$$

Dalam program AMOS Versi 4.01 proses konversi ke dalam persamaan telah dilakukan secara otomatis oleh program tersebut.

4. Langkah keempat: Memilih Jenis Matrik *Input* dan Estimasi Model yang Diusulkan

Data masukan (*input*) SEM berupa matriks varians/kovarians atau matriks korelasi untuk keseluruhan estimasi yang dilakukannya. Matriks kovarian digunakan karena ia memiliki keunggulan dalam menyajikan perbandingan yang valid antara populasi yang berbeda/sampel yang berbeda, di mana hal tersebut tidak dapat disajikan oleh matriks korelasi. Matriks kovarians umumnya lebih banyak digunakan dalam penelitian mengenai hubungan seperti direkomendasikan oleh Baumgartner dan Homburg (1996), sebab *standard error* yang dilaporkan dari berbagai penelitian umumnya menunjukkan angka yang kurang akurat bila matriks korelasi digunakan sebagai *input*.

Ukuran sampel memegang peranan penting dalam estimasi dan interpretasi hasil SEM. Hair et al. (1998) menemukan bahwa ukuran sampel yang sesuai adalah antara 100-200. Bila ukuran sampel menjadi terlalu besar misalnya lebih dari 400 maka metode menjadi sangat sensitif sehingga sulit untuk mendapatkan ukuran-ukuran *goodness-of-fit* yang baik. Teknik estimasi yang digunakan dalam penelitian ini adalah *Maximum Likelihood Estimation* (ML) yang terdapat dalam program AMOS 4.01. Estimasi dilakukan melalui dua tahap yaitu:

a. Estimasi Model Pengukuran (*Measurements Model*)

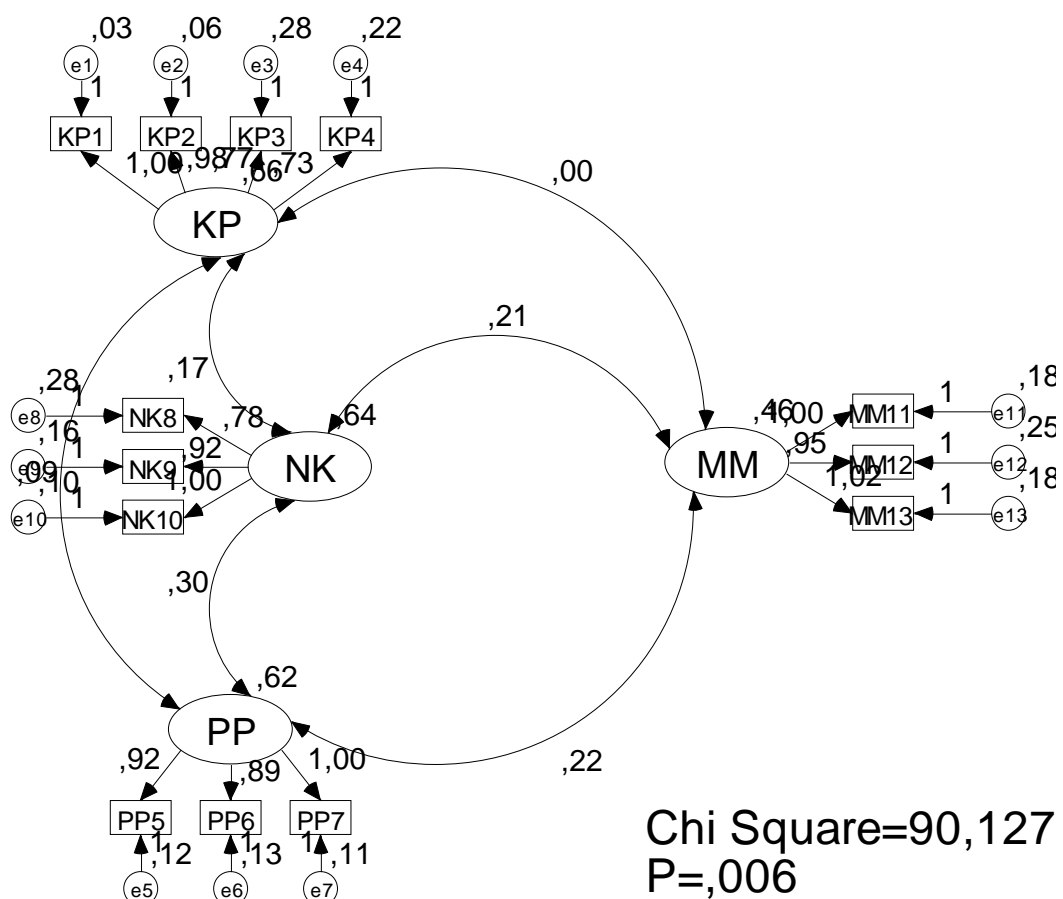
Untuk menguji uni-dimensional dari konstruk-konstruk eksogen dan endogen digunakan teknik *confirmatory-factor analysis*. Jika probabilitas yang dihasilkan signifikan, berarti hipotesis yang menyatakan bahwa tidak terdapat perbedaan antara matriks-kovarians sampel dan matriks kovarians populasi yang diestimasikan tidak dapat ditolak atau hipotesis nol diterima. *Confirmatory factor analysis* dilakukan dengan membuat hubungan dua anak panah (\Leftrightarrow) antara masing-masing konstruk yang melambangkan korelasi antara dua konstruk tersebut.

Hasil estimasi pada Gambar 2 di bawah memberikan nilai *Chi Square* sebesar 90,127 dengan taraf signifikansi 0,006. Tampak bahwa taraf signifikansi < 0,05 yang menyatakan bahwa terdapat perbedaan yang signifikan antara matriks kovarians sampel dengan matriks kovarian populasi. Nilai GFI (0,886) dan AGFI (0,825) juga di bawah nilai yang disarankan (> 0,9). Nilai Cmin/df memberikan nilai 1,528 (< 2), RMSEA sebesar 0,069 (< 0,08), TLI sebesar 0,963 (> 0,95) dan CFI sebesar 0,972 (> 0,95) memenuhi syarat yang diharapkan

Berikut adalah hasil *confirmatory factor analysis* dalam penelitian ini:

Gambar 2

Confirmatory Factor Analysis



Chi Square=90,127
P=,006
df=59
RMSEA=,069
GFI=,886
AGFI=,825
Cmin/df=1,528
TLI=,963
CFI=,972

Untuk jumlah sampel di bawah 200 nilai Chi Square dan signifikansi merupakan syarat yang penting, sehingga model harus dimodifikasi agar memenuhi syarat signifikansi di bawah 0,05. Modifikasi model dilakukan dengan melihat nilai *Modification Indices* sebagai berikut:

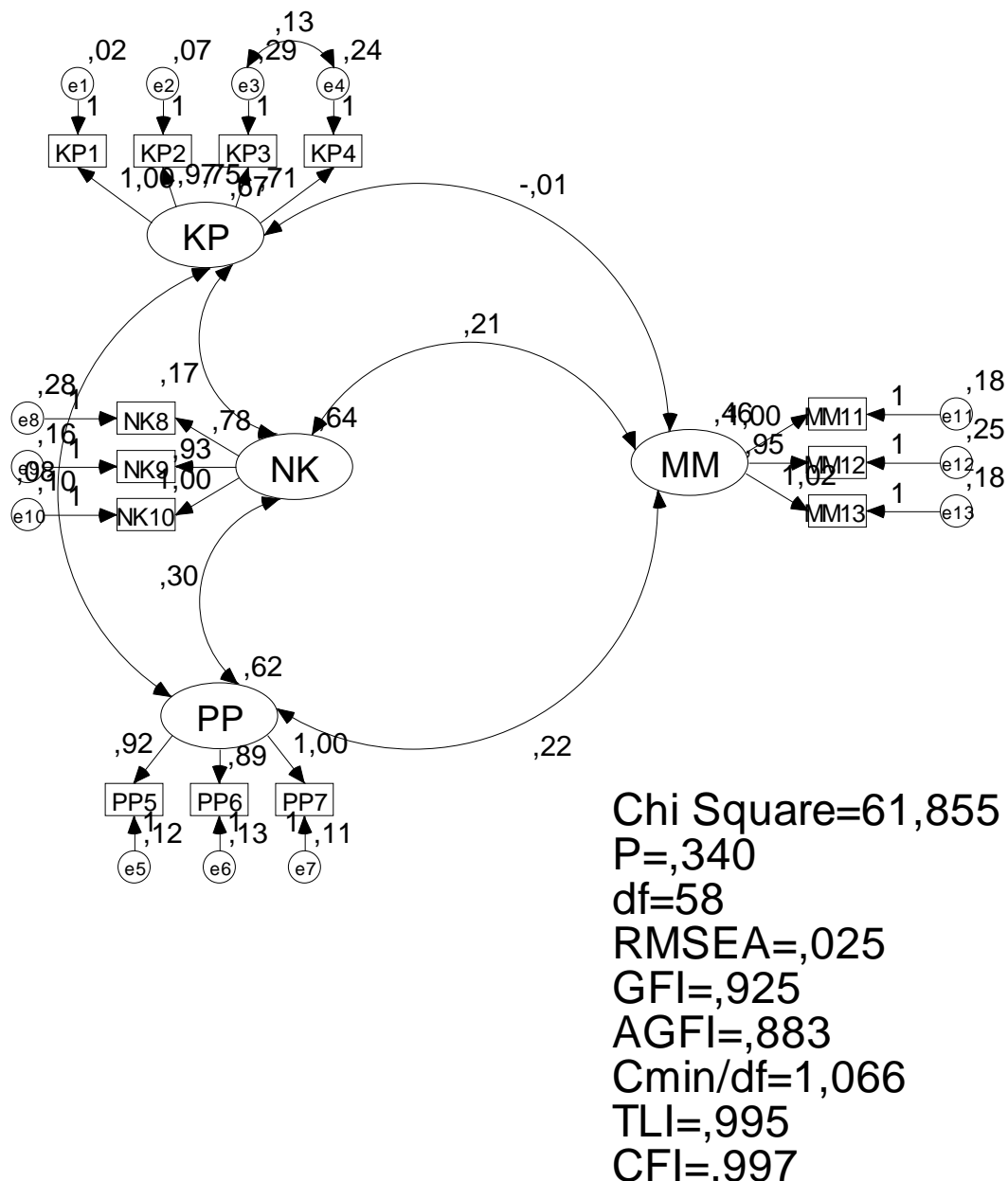
Tabel 1
Modification Indices

| Covariances: | | | M.I. | Par Change |
|----------------------------|------|------|-------------|-------------------|
| e4 | <--> | e10 | 6,995 | 0,055 |
| e3 | <--> | NK | 6,169 | 0,090 |
| e3 | <--> | e4 | 25,533 | 0,125 |
| e2 | <--> | PP | 4,433 | 0,042 |
| e2 | <--> | e5 | 4,833 | 0,025 |
| | | | | |
| Variances: | | | M.I. | Par Change |
| | | | | |
| Regression Weights: | | | M.I. | Par Change |
| NK9 | <-- | KP4 | 4,084 | -0,118 |
| NK10 | <-- | KP4 | 8,777 | 0,167 |
| NK10 | <-- | KP3 | 6,557 | 0,134 |
| KP4 | <-- | NK10 | 4,225 | 0,110 |
| KP4 | <-- | KP3 | 10,157 | 0,180 |
| KP3 | <-- | MM | 8,263 | 0,232 |
| KP3 | <-- | NK | 9,888 | 0,210 |
| KP3 | <-- | MM13 | 4,855 | 0,138 |
| KP3 | <-- | MM12 | 4,295 | 0,131 |
| KP3 | <-- | MM11 | 9,241 | 0,194 |
| KP3 | <-- | NK8 | 4,376 | 0,131 |
| KP3 | <-- | NK9 | 6,692 | 0,158 |
| KP3 | <-- | NK10 | 11,009 | 0,198 |
| KP3 | <-- | KP4 | 9,554 | 0,209 |
| KP2 | <-- | PP5 | 4,868 | 0,078 |
| KP1 | <-- | PP | 4,812 | -0,077 |
| KP1 | <-- | MM11 | 4,062 | -0,067 |
| KP1 | <-- | PP5 | 5,527 | -0,079 |

Terdapat tiga versi yang diusulkan oleh program, yaitu pada *covariance*, *variance* dan pada *regression weight*. Pilihan terbaik harus didasari oleh justifikasi teori yang kuat, karena program tidak untuk membentuk teori tetapi untuk mengkonfirmasikan apakah model empiris sesuai dengan teori atau tidak. Pada *covariance* tampak bahwa dengan mengkorelasikan error 3 (e3) dan error 4 (e4) akan diperoleh penurunan Chi Square sebesar 25,533. Dukungan teori yang diberikan adalah bahwa e3 dan e4 merupakan error

indikator yang keduanya membentuk konstruk yang sama yaitu Kegunaan Produk. Indikator-indikator dalam suatu konstruk harus mempunyai korelasi yang tinggi agar mampu membentuk konstruk yang dituju. Dengan demikian, mengkorelasikan e3 dan e4 mempunyai dukungan teori yang cukup kuat. Dengan mengkorelasikan e3 dan e4 maka diperoleh output sebagai berikut:

Gambar 3
Confirmatory Factor Analysis Modifikasi



Tampak bahwa dengan mengkorelasikan e3 dan e4 diperoleh nilai Chi Square sebesar 61,855 dengan signifikansi sebesar $0,340 > 0,05$ yang menunjukkan bahwa tidak

terdapat perbedaan yang signifikan antara matriks-kovarians sampel dan matriks kovarians populasi yang diestimasikan tidak dapat ditolak atau hipotesis nol diterima. Parameter yang lain memberikan nilai RMSEA sebesar 0,025 ($< 0,08$), GFI sebesar 0,925 ($> 0,9$), Cmin/df sebesar 1,066 (< 2), TLI sebesar 0,995) dan CFI sebesar 0,997 ($> 0,95$) yang semuanya sesuai dengan persyaratan. Nilai AGFI adalah sebesar 0,883 yang di bawah nilai yang disyaratkan yaitu sebesar 0,9 tetapi masih mendekati nilai tersebut. Dengan demikian model dapat diterima secara marjinal.

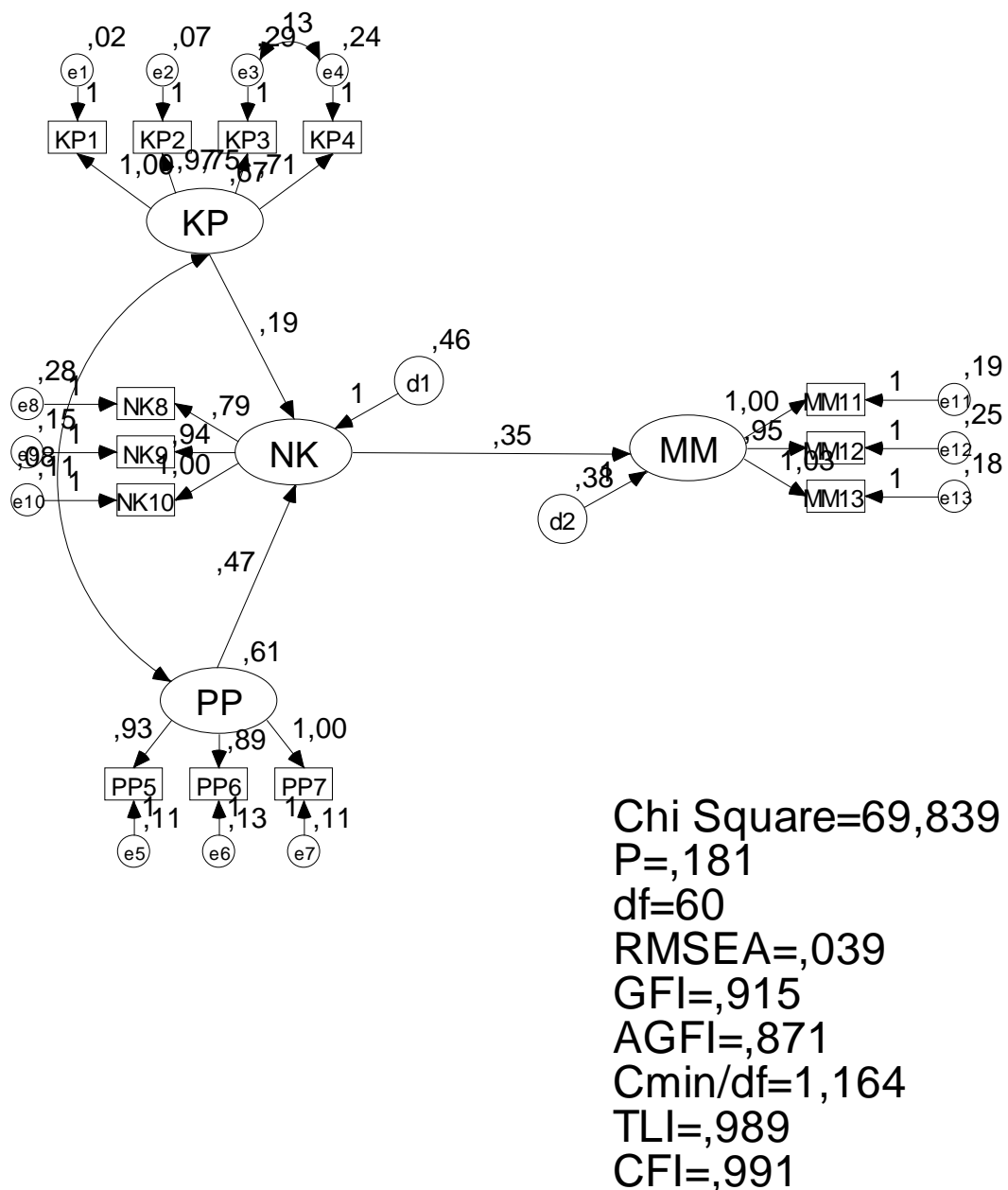
b. Model Struktur Persamaan (*Structure Equation Model*)

Setelah analisis CFA, maka berikutnya adalah dilakukan analisis secara *full model*. Estimasi dilakukan dengan menganalisis *full-model* untuk melihat kesesuaian model dan hubungan kausalitas yang dibangun dalam model yang diuji. *Full model* dilakukan dengan mengganti dua anak panah korelasi dengan satu anak panah yang melambangkan hipotesis yang diberikan dalam penelitian ini.

Diagram di bawah memberikan nilai *Chi-Square* sebesar 69,839 dengan taraf signifikansi sebesar 0,181 ($> 0,05$). Nilai taraf signifikansi tersebut memenuhi standard nilai yang disarankan sehingga model tersebut layak untuk dipergunakan sebagai alat untuk mengkonfirmasi data yang diobservasi. Nilai GFI di atas 0,9, Cmin/df berada di bawah 2, nilai RMSEA di bawah 0,08 dan TLI serta CFI di atas 0,95. Akan tetapi nilai AGFI berada di bawah nilai yang disarankan yaitu 0,9. Nilai AGFI masih mendekati nilai tersebut, sehingga model dinyatakan layak secara marjinal.

Berikut adalah hasil estimasi *full model* dalam penelitian ini:

Gambar 4
Full Model SEM



5. Langkah kelima: Kemungkinan Munculnya Masalah Identifikasi

Pada program komputer yang digunakan untuk estimasi model kausal ini, salah satu masalah yang akan timbul adalah masalah identifikasi. Masalah identifikasi pada prinsipnya adalah mengenai masalah ketidakmampuan dari model yang dikembangkan untuk menghasilkan estimasi yang unik. Masalah dapat diidentifikasi dengan melihat:

- a. *Standard error* yang besar untuk satu atau beberapa koefisien.

Nilai *standard error* hasil estimasi ditampilkan pada Output Lampiran 2 Halaman (ix). Output tersebut menunjukkan bahwa *standard error* terbesar untuk indikator adalah sebesar 0,292 (e3). Nilai tersebut relatif kecil ($< 0,4$) sehingga tidak terdapat masalah identifikasi pada *standard error*. Masalah terjadi jika terdapat satu atau lebih *standard error* yang nilainya lebih dari 0,4.

- b. Program tidak mampu menghasilkan matriks informasi yang seharusnya disajikan.

Pada beberapa kondisi, program AMOS tidak mampu mengeluarkan sebuah solusi yang unik sehingga output tidak muncul. Hal tersebut dikarenakan adanya masalah identifikasi pada model atau pada data observasi. Ketika Program AMOS mampu mengeluarkan output, berarti terdapat solusi yang unik pada model penelitian berdasarkan data observasi yang ada. Ketika program tidak mampu menghasilkan solusi yang unik akan keluar pesan: *This Solution is not admissible. Output* dalam penelitian ini tidak memunculkan adanya pesan tersebut yang menandakan bahwa program mampu menghasilkan sebuah solusi yang unik berdasarkan data observasi yang ada.

- c. Munculnya angka-angka yang aneh seperti adanya varians error yang negatif.

Nilai varians *error* pada *full model* ditampilkan pada Lampiran 2 Halaman (ix). Varians *error* pada seluruh indikator tersebut memberikan nilai antara 0,024 (e1) sampai dengan 0,292 (e3). Nilai tersebut tidak ada yang negatif sehingga tidak terjadi kasus *Heywood case*. Jika terdapat nilai varians *error* yang negatif maka perlu dilakukan modifikasi, misalnya dengan menambah jumlah sampel.

6. Langkah keenam: Evaluasi Kriteria *Goodness of Fit*

Pada langkah ini kesesuaian model dievaluasi melalui telaah terhadap berbagai kriteria *goodness of fit*. Untuk itu tindakan pertama yang dilakukan adalah mengevaluasi apakah data yang digunakan dapat memenuhi asumsi-asumsi yang diperlukan dalam analisis SEM. Bila asumsi ini sudah dipenuhi, maka model dapat diuji melalui berbagai cara di antaranya:

a. Uji Kesesuaian dan Uji Statistik

Beberapa pengukuran yang penting dalam mengevaluasi kriteria *goodness-of-fit* beserta dengan nilai batas (*cut off value*) adalah sebagai berikut:

Tabel 2
Goodness of Fit Indices

| Goodness of fit index | Cut-off Value | Estimasi | Keterangan |
|--------------------------|------------------|----------|------------|
| Chi-square (χ^2) | Diharapkan kecil | 69,839 | Good |
| Significance Probability | ≥ 0.05 | 0,181 | Good |
| RMSEA | ≤ 0.08 | 0,039 | Good |
| GFI | ≥ 0.90 | 0,915 | Good |
| AGFI | ≥ 0.90 | 0,871 | Marjinal |
| CMIN/DF | ≤ 2.00 | 1,164 | Good |
| TLI | ≥ 0.95 | 0,989 | Good |
| CFI | ≥ 0.95 | 0,991 | Good |

Hasil estimasi di atas menunjukkan bahwa untuk signifikansi, RMSEA, GFI, Cmin/df, TLI dan CFI memenuhi *cut value* yang disarankan. Akan tetapi nilai untuk AGFI masih di bawah standar yang diberikan, namun nilainya masih mendekati nilai tersebut. Dengan demikian, model ini masih dinyatakan layak secara marjinal untuk dipergunakan sebagai alat dalam mengkonfirmasi teori yang telah dibangun berdasarkan data observasi yang ada.

b. Uji Reliabilitas

1) *Construct Reliability*

Angka yang direkomendasikan untuk nilai *construct reliability* adalah $> 0,70$. Berikut ini rumus untuk menghitung *construct reliability*:

$$\text{construct reliability} = \frac{\left(\sum \text{std.loading} \right)^2}{\left(\sum \text{std.loading} \right)^2 + \sum \varepsilon_j}$$

Nilai *standard loading* diperoleh dari nilai *standardized regression weight* pada Lampiran 1, Halaman i.

Tabel 3
Nilai Standard Loading

| Standardized Regression Weights | Estimate |
|---------------------------------|----------|
| NK <----- KP | 0,190 |
| NK <----- PP | 0,464 |
| MM <----- NK | 0,407 |
| KP1 <----- KP | 0,982 |
| KP2 <----- KP | 0,951 |
| KP3 <----- KP | 0,751 |
| KP4 <----- KP | 0,767 |
| PP7 <----- PP | 0,918 |
| PP6 <----- PP | 0,891 |
| PP5 <----- PP | 0,907 |
| NK10 <----- NK | 0,923 |
| NK9 <----- NK | 0,982 |
| NK8 <----- NK | 0,951 |
| MM11 <----- MM | 0,843 |
| MM12 <----- MM | 0,793 |
| MM13 <----- MM | 0,851 |

Sebagai contoh, konstruk KP dibentuk dari indikator KP1, KP2, KP3 dan KP4 dengan nilai *standardized regression weight* sebesar 0,982 (KP1), 0,951 (KP2), 0,751 (KP3) dan 0,767 (KP4). Dengan demikian Reliabilitas konstruk

$$\begin{aligned}
 &= \frac{(0,982 + 0,951 + 0,751 + 0,767)^2}{(0,982 + 0,951 + 0,751 + 0,767)^2 + ((1 - 0,982^2) + (1 - 0,951^2) + (1 - 0,751^2) + (1 - 0,767^2))} \\
 &= \frac{(3,451)^2}{(3,451)^2 + (0,978985)} \\
 &= 0,92404
 \end{aligned}$$

Nilai tersebut berada di atas nilai yang direkomendasikan yaitu sebesar 0,7. Dengan cara yang sama, maka diperoleh hasil nilai reliabilitas konstruk pada masing-masing konstruk. Lampiran tersebut menunjukkan bahwa tidak ada konstruk yang mempunyai nilai reliabilitas konstruk di bawah 0,7. Nilai terendah adalah konstruk MM yaitu sebesar 0,8685.

2) *Variance extracted*

Angka yang direkomendasikan adalah $> 0,50$. Berikut rumus untuk menghitung *variance extracted*:

$$\text{variance extracted} = \frac{\sum \text{std.loading}^2}{\sum \text{std.loading}^2 + \sum \varepsilon_j}$$

Sehingga perhitungan *variance extracted* untuk konstruk PE adalah sebagai berikut:

$$\begin{aligned} &= \frac{(0,982^2 + 0,951^2 + 0,751^2 + 767^2)}{(0,982^2 + 0,951^2 + 0,751^2 + 0,767^2) + ((1 - 0,982^2) + (1 - 0,951^2) + (1 - 0,751^2) + (1 - 0,767^2))} \\ &= \frac{(3,021015)}{(3,021015)^2 + (0,978985)} \\ &= 0,75525375 \end{aligned}$$

Hasil perhitungan tersebut di atas nilai yang disarankan yaitu sebesar 0,5. Perhitungan *variance extracted* untuk konsrruk yang lain selengkapnya ditampilkan pada Lampiran 8. Tampak bahwa tidak terdapat konstruk yang mempunyai nilai *variance extracted* di bawah 0,5. Nilai terendah adalah untuk konstruk MM yaitu sebesar 0,68789967.

c. Uji Validitas

Pengujian validitas dalam penelitian ini menggunakan analisis *convergent validity* (validitas konvergen). Validitas konvergen dapat dinilai dari *measurement model* yang dikembangkan dalam penelitian dengan menentukan apakah setiap indikator yang diestimasi secara valid mengukur dimensi dari konsep yang diujinya. Sebuah indikator dimensi menunjukkan validitas konvergen yang signifikan apabila koefisien variabel indikator itu lebih besar dari dua kali standard errornya (Anderson dan Gerbing, 1988). Bila setiap indikator memiliki *critical ratio* yang lebih besar dari dua kali standar errornya, hal ini menunjukkan bahwa indikator itu secara valid mengukur apa yang seharusnya diukur dalam model yang disajikan.

Nilai *critical ratio* tersebut terdapat dalam Lampiran 2 hal. viii. Tampak bahwa tidak terdapat *critical ratio* pada indikator yang mempunyai nilai di bawah 2. Nilai terendah adalah sebesar 8,963 yaitu untuk indikator MM12. Dengan demikian uji validitas terpenuhi pada model.

d. Asumsi-asumsi SEM

1) Ukuran Sampel

Ukuran sampel yang harus dipenuhi dalam pemodelan ini adalah minimum berjumlah 100 atau lima kali jumlah indikator. Penelitian ini menggunakan 13 indikator, sehingga ukuran sampel minimum adalah sebanyak 19×5 indikator = 65. Penelitian ini menggunakan sampel sebanyak 111 sehingga asumsi untuk ukuran sampel terpenuhi.

2) Normalitas

Normalitas dapat diuji dengan melihat gambar histogram data atau dapat diuji dengan metode-metode statistik. Normalitas data merupakan salah satu syarat dapat dioperasikannya SEM untuk mengolah pemodelan yang dibuat. Dalam menilai normalitas data dalam SEM dilakukan dengan melihat nilai z yang dimiliki. Nilai z yang dimiliki ini akan dilihat dengan nilai kritis yang ditentukan melalui tingkat signifikansi yang ditentukan yaitu 0,01 dan nilai kritis adalah sebesar $\pm 2,58$. Pada pengolahan data dengan AMOS 4.01, nilai z dilihat dari *critical ratio*.

Hasil pengujian normalitas terdapat pada Lampiran 2 Hal. iv. Pada *output* tersebut tampak bahwa tidak terdapat nilai *critical ratio* yang berada di atas $\pm 2,58$. Untuk Skewness, nilai tertinggi adalah sebesar $\pm 1,863$ (PP7) dan untuk Kurtosis, nilai tertinggi adalah sebesar $\pm 0,746$ (PP6). Dengan demikian asumsi normalitas terpenuhi.

3) *Outliers*

Outliers adalah observasi yang muncul dengan nilai-nilai ekstrim baik secara *univariate* maupun *multivariate* yaitu yang muncul karena kombinasi dari observasi-observasi lainnya. *Outliers* terjadi karena adanya kombinasi unik dan nilai-nilai yang dihasilkan di observasi-observasi tersebut sangat berbeda dari observasi lainnya. Uji *outliers multivariate* dilakukan dengan kriteria jarak mahalanobis pada tingkat $P < 0,001$. jarak mahalanobis ini dievaluasi dengan menggunakan χ^2 pada derajat bebas sebesar jumlah variabel yang digunakan dalam penelitian. Jika *chi-square* < nilai mahalanobis *d-square*, berarti responden tersebut adalah multivariate *outliers*.

Penelitian ini menggunakan sampel sebanyak 111, sehingga nilai χ^2 untuk sampel sebanyak 111 pada taraf signifikansi sebesar 0,001 adalah sebesar 162,7872. Nilai Mahalanobis *d-square* terbesar pada Lampiran 2 Halaman iv adalah sebesar 28,035

(observasi 71). Tampak bahwa nilai tersebut masih jauh di bawah nilai χ^2 . Dengan demikian dapat disimpulkan bahwa tidak terdapat masalah *outliers* pada penelitian ini.

4) *Multicollinearity dan Singularity*

Multikolinearitas dapat dideteksi dari *determinant matriks kovarians*. Nilai *determinant matriks kovarians* yang sangat kecil (mendekati nol) memberi indikasi adanya problem multikolinearitas atau singularitas dan data layak digunakan. Estimasi model penelitian ini memberikan nilai *Determinant of sample covariance matrix* sebesar $9,9966e-008 = 1,202232$ yang masih berada di atas 0 (Lampiran 2 hal. vii). Dengan demikian model ini masih dipergunakan, karena nilainya di atas nol dan jika terdapat gangguan multikolinearitas yang tinggi, maka Program AMOS akan memberikan *warning* (Ferdinand, 2005:105).

7. Langkah ketujuh: Menginterpretasikan Hasil Pengujian dan Modifikasi Model

Langkah terakhir SEM adalah interpretasi model dan modifikasi model bagi model yang tidak memenuhi syarat pengujian. Modifikasi dilakukan dengan mengamati *standardize residuals* yang dihasilkan oleh model itu. Batas keamanan untuk jumlah residual adalah $\pm 2,58$ dengan tingkat signifikansi 5% (Hair et al. Al., 1998). Nilai residual yang $> 2,58$ menunjukkan adanya *prediction error* yang substansial untuk sepasang indikator.

Nilai *residual covariance* ditampilkan pada Lampiran 2 Halaman xiii. Pada output tersebut tampak bahwa nilai *residual covariance* yang terbesar adalah sebesar 0,1381 yaitu antara PP7 dan MM13. Nilai tersebut masih jauh di bawah $\pm 2,58$ sehingga tidak memerlukan syarat pengujian lagi. Nilai *standardized covariance* pada Lampiran 2 hal. xiii juga memberikan nilai tertinggi sebesar $2,573 < 2,58$ (KP3 dengan NK10). Dengan demikian, interpretasi terhadap model dapat dilakukan.

a. Pengujian Hipotesis

Pengujian dilakukan dengan melihat *critical ratio* pada *regression weight* pada Lampiran 2 Halaman viii. Berikut adalah uji hipotesis dalam penelitian ini:

Tabel 4.4**Uji Hipotesis**

| Konstruk | | Estimate | S.E. | C.R. |
|----------|---|----------|-------|-------|
| NK | ← | KP | 0,185 | 0,089 |
| NK | ← | PP | 0,472 | 0,095 |
| MM | ← | NK | 0,347 | 0,090 |

1. Hipotesis 1

Nilai c.r. antara NK ← KP adalah sebesar $2,083 > \pm 1,96$. Dengan demikian KP mempunyai pengaruh yang positif dan signifikan terhadap NK. Dengan demikian hipotesis 1 dalam penelitian ini yang menyatakan bahwa “Semakin tinggi persepsi terhadap penggunaan produk, semakin tinggi persepsi nilai pelanggan terhadap produk” diterima.

2. Hipotesis 2

Nilai c.r. antara NK ← PP adalah sebesar $4,946 > \pm 1,96$. Dengan demikian PP mempunyai pengaruh yang positif dan signifikan terhadap NK. Dengan demikian hipotesis 2 dalam penelitian ini yang menyatakan bahwa “Semakin besar pengaruh pergaulan sosial terhadap pemakaian produk, semakin tinggi persepsi nilai pelanggan” diterima.

3. Hipotesis 3

Nilai c.r. antara MM ← NK adalah sebesar $3,850 > \pm 1,96$. Dengan demikian NK mempunyai pengaruh yang positif dan signifikan terhadap MM. Dengan demikian hipotesis 3 dalam penelitian ini yang menyatakan bahwa “Semakin tinggi persepsi nilai pelanggan terhadap produk, semakin tinggi minat mereferensikan konsumen terhadap produk” diterima.

b. Pembahasan**1) Pengaruh Langsung (*Direct Effect*)**

Pengaruh langsung ditunjukkan dengan satu anak panah pada diagram dan sesuai dengan hipotesis yang diberikan. Berikut adalah pengaruh langsung pada model penelitian ini:

Tabel 4.5
Pengaruh Langsung

| | PP | KP | NK | MM |
|----|-------|-------|-------|-------|
| NK | 0,472 | 0,185 | 0,000 | 0,000 |
| MM | 0,000 | 0,000 | 0,347 | 0,000 |

Tabel di atas menunjukkan bahwa pengaruh langsung antara KP terhadap NK adalah 0,185; pengaruh PP terhadap NK adalah sebesar 0,472 dan pengaruh antara NK terhadap MM adalah sebesar 0,347 karena pada diagram dihubungkan dengan satu anak panah (\leftarrow). Pengaruh antara variabel yang lain adalah 0 karena tidak ada hubungan langsung dengan satu anak panah (\leftarrow). Tampak bahwa pengaruh pergaulan sosial terhadap nilai konsumen lebih besar dari pada pengaruh antara kegunaan produk terhadap nilai konsumen ($0,472 > 0,185$).

2) Pengaruh Tidak Langsung (*Indirect Effect*)

Kelebihan dari SEM adalah mampu mengidentifikasi pengaruh tidak langsung antara konstruk eksogen terhadap konstruk endogen yang tidak dituju dengan anak panah secara langsung. Berikut adalah besarnya pengaruh tidak langsung pada model penelitian:

Tabel 4.6
Pengaruh Tidak Langsung

| | PP | KP | NK | MM |
|----|-------|-------|-------|-------|
| NK | 0,000 | 0,000 | 0,000 | 0,000 |
| MM | 0,164 | 0,064 | 0,000 | 0,000 |

Tampak bahwa meskipun tidak dihipotesiskan, pengaruh pergaulan sosial mempunyai pengaruh tidak langsung terhadap minat mereferensikan yaitu sebesar 0,164 dan juga terdapat pengaruh tidak langsung antara kegunaan produk terhadap minat mereferensikan yaitu sebesar 0,064. Bukti empiris ini juga sesuai dengan pengaruh langsung yaitu bahwa pengaruh antara pengaruh pergaulan sosial terhadap minat mereferensikan melalui nilai konsumen lebih tinggi dari pada pengaruh antara kegunaan produk terhadap minat mereferensikan melalui nilai konsumen ($0,164 > 0,064$).

3) Pengaruh Total (*Total Effect*)

Pengaruh total adalah penjumlahan dari pengaruh langsung dan tidak langsung yang terdapat pada model penelitian. Berikut adalah besarnya pengaruh total pada model penelitian:

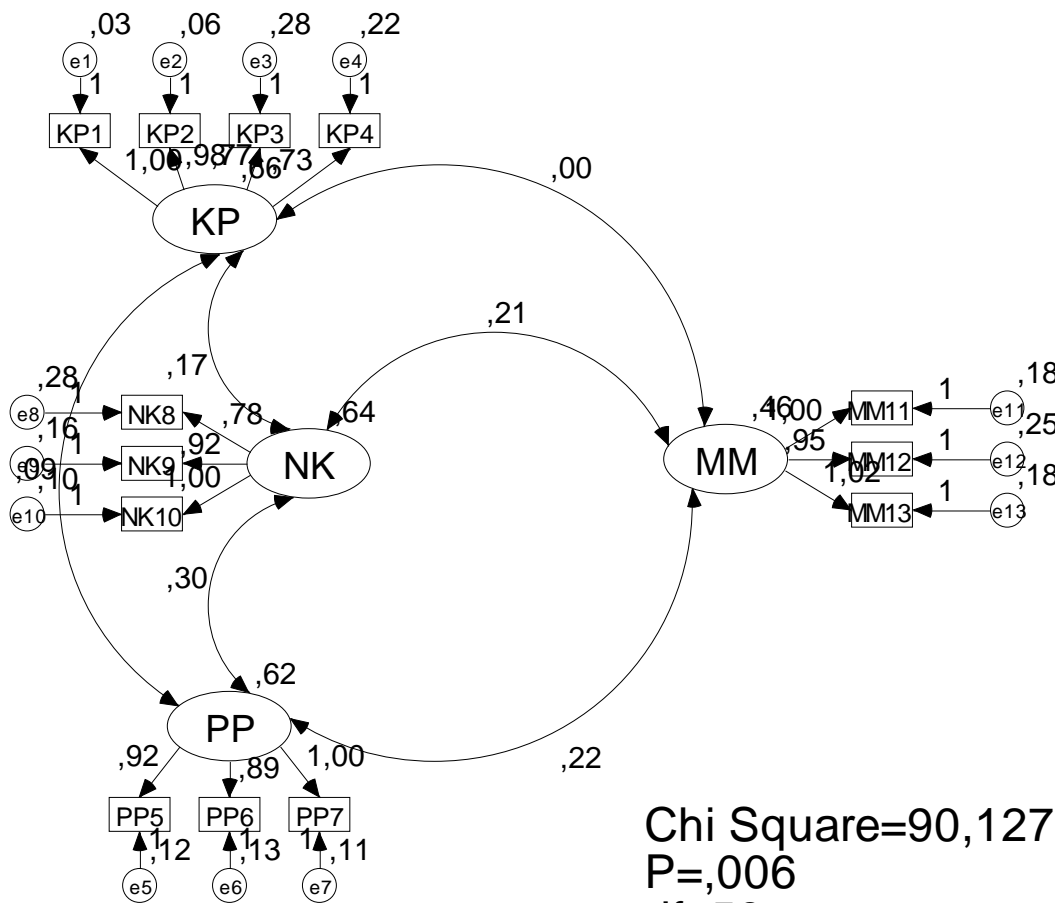
Tabel 4.7
Pengaruh Total

| | PP | KP | NK | MM |
|----|-------|-------|-------|-------|
| NK | 0,472 | 0,185 | 0,000 | 0,000 |
| MM | 0,164 | 0,064 | 0,347 | 0,000 |

Berdasarkan Tabel 4.13 di atas maka tampak kegunaan produk mempunyai pengaruh total terhadap nilai konsumen sebesar 0,185 dan terhadap minat mereferensikan sebesar 0,064; pengaruh pergaulan sosial mempunyai pengaruh total terhadap nilai konsumen sebesar 0,472 dan terhadap minat mereferensikan sebesar 0,164 dan pengaruh total antara nilai konsumen terhadap minat mereferensikan adalah sebesar 0,347.

LAMPIRAN 1

CONFIRMATORY FACTOR ANALYSIS



Chi Square=90,127
 P=,006
 df=59
 RMSEA=.069
 GFI=.886
 AGFI=.825
 Cmin/df=1,528
 TLI=.963
 CFI=.972

Modification Indices

Covariances: M.I. Par Change

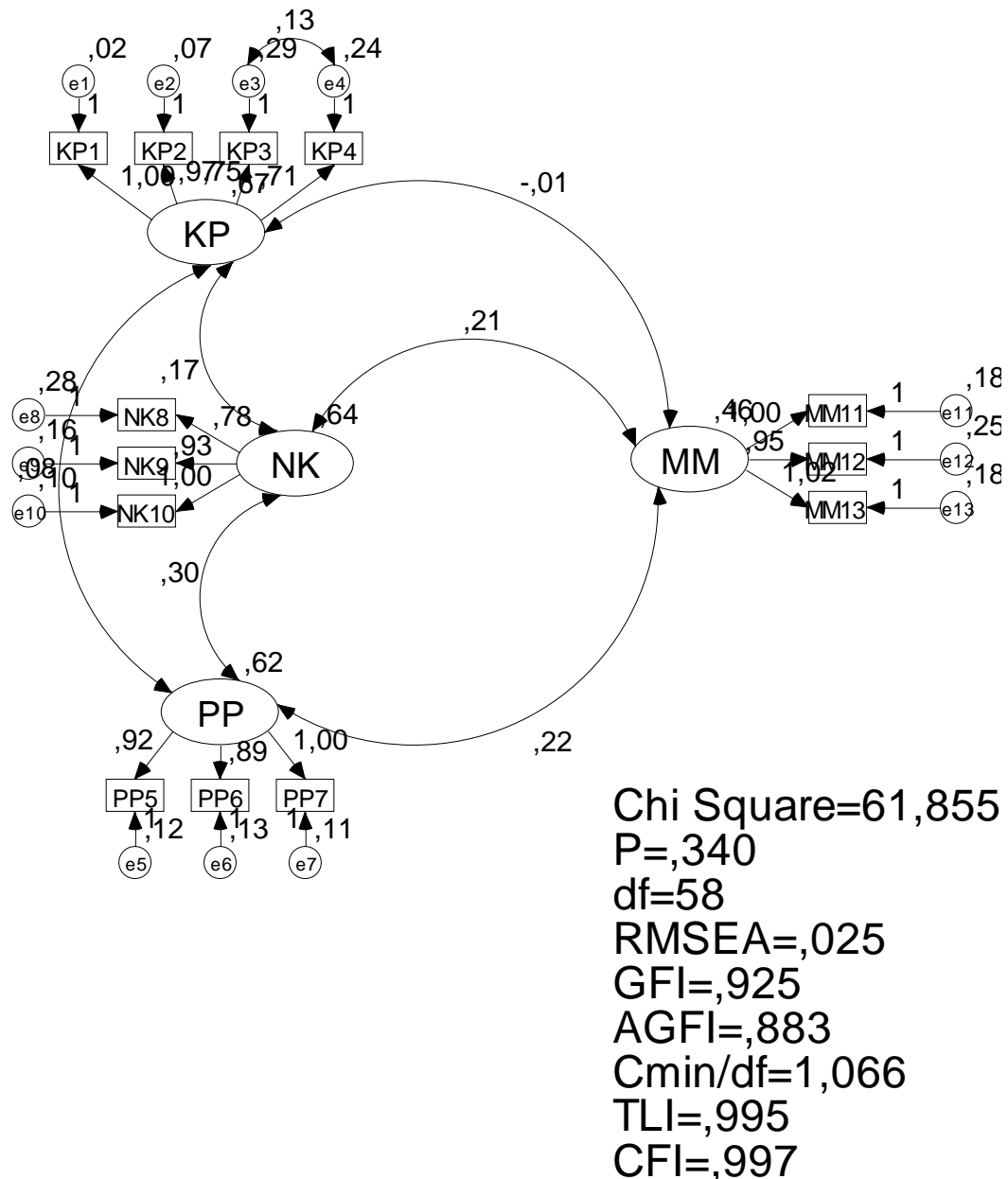
| | | | | |
|----|------|-----|--------|-------|
| e4 | <--> | e10 | 6,995 | 0,055 |
| e3 | <--> | NK | 6,169 | 0,090 |
| e3 | <--> | e4 | 25,533 | 0,125 |
| e2 | <--> | PP | 4,433 | 0,042 |
| e2 | <--> | e5 | 4,833 | 0,025 |

Variances: M.I. Par Change

Regression Weights: M.I. Par Change

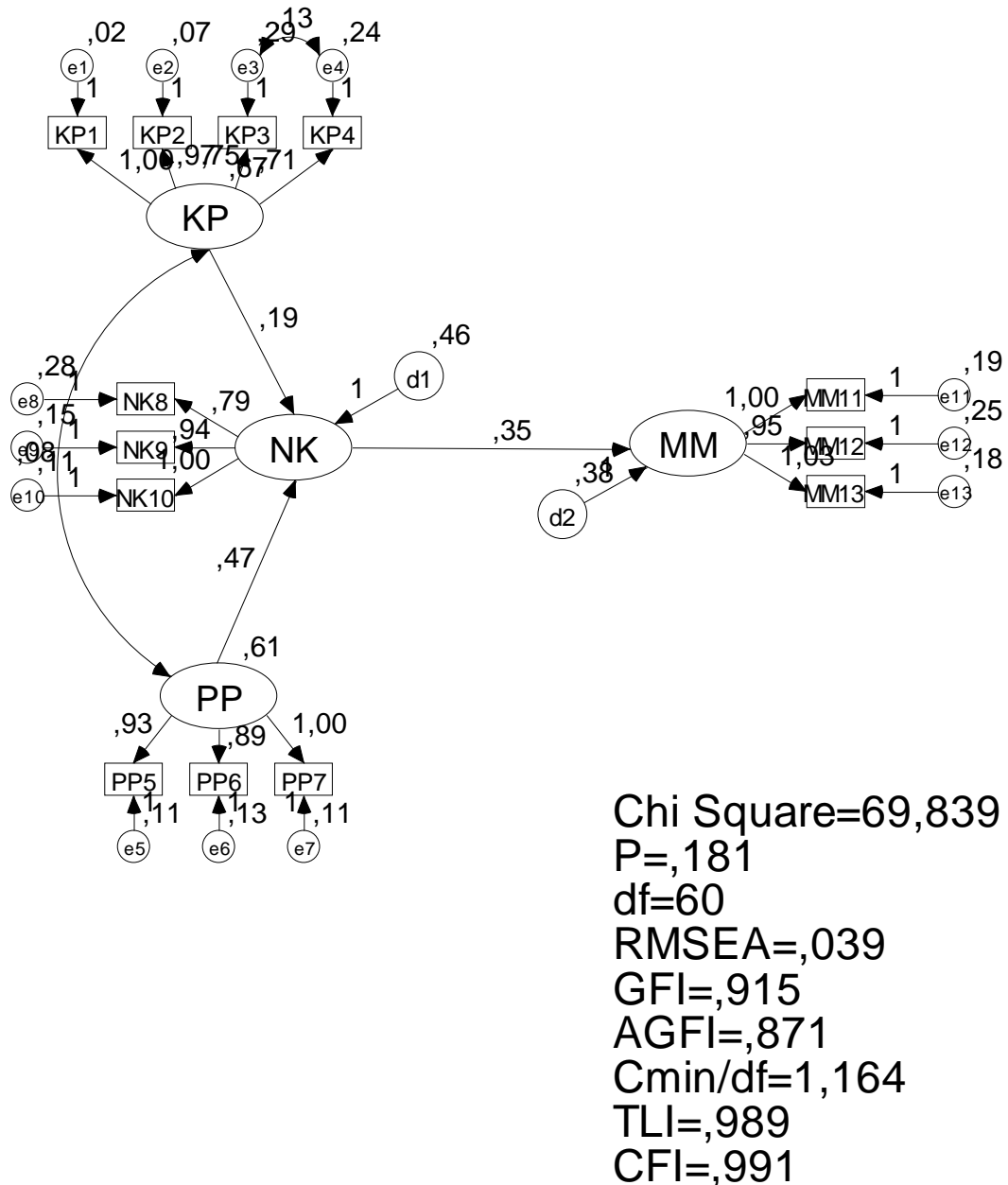
| | | | | |
|------|-----|------|--------|--------|
| NK9 | <-- | KP4 | 4,084 | -0,118 |
| NK10 | <-- | KP4 | 8,777 | 0,167 |
| NK10 | <-- | KP3 | 6,557 | 0,134 |
| KP4 | <-- | NK10 | 4,225 | 0,110 |
| KP4 | <-- | KP3 | 10,157 | 0,180 |
| KP3 | <-- | MM | 8,263 | 0,232 |
| KP3 | <-- | NK | 9,888 | 0,210 |
| KP3 | <-- | MM13 | 4,855 | 0,138 |
| KP3 | <-- | MM12 | 4,295 | 0,131 |
| KP3 | <-- | MM11 | 9,241 | 0,194 |
| KP3 | <-- | NK8 | 4,376 | 0,131 |
| KP3 | <-- | NK9 | 6,692 | 0,158 |
| KP3 | <-- | NK10 | 11,009 | 0,198 |
| KP3 | <-- | KP4 | 9,554 | 0,209 |
| KP2 | <-- | PP5 | 4,868 | 0,078 |
| KP1 | <-- | PP | 4,812 | -0,077 |
| KP1 | <-- | MM11 | 4,062 | -0,067 |
| KP1 | <-- | PP5 | 5,527 | -0,079 |

CONFIRMATORY FACTOR ANALYSIS MODIFIKASI



LAMPIRAN 2

FULL MODEL SEM



Path Diagram

Amos

by James L. Arbuckle

Version 4.01

Copyright 1994-1999 SmallWaters Corporation
1507 E. 53rd Street - #452
Chicago, IL 60615 USA
773-667-8635
Fax: 773-955-6252
<http://www.smallwaters.com>

Title

Path diagram

Your model contains the following variables

| | | |
|-----|----------|------------|
| KP1 | observed | endogenous |
| KP2 | observed | endogenous |
| KP3 | observed | endogenous |
| KP4 | observed | endogenous |
| PP7 | observed | endogenous |

| | | |
|------|------------|------------|
| PP6 | observed | endogenous |
| PP5 | observed | endogenous |
| NK10 | observed | endogenous |
| NK9 | observed | endogenous |
| NK8 | observed | endogenous |
| MM11 | observed | endogenous |
| MM12 | observed | endogenous |
| MM13 | observed | endogenous |
| | | |
| NK | unobserved | endogenous |
| MM | unobserved | endogenous |
| | | |
| KP | unobserved | exogenous |
| e1 | unobserved | exogenous |
| e2 | unobserved | exogenous |
| e3 | unobserved | exogenous |
| e4 | unobserved | exogenous |
| PP | unobserved | exogenous |
| e7 | unobserved | exogenous |
| e6 | unobserved | exogenous |
| e5 | unobserved | exogenous |
| e10 | unobserved | exogenous |
| e9 | unobserved | exogenous |
| e8 | unobserved | exogenous |
| e11 | unobserved | exogenous |
| e12 | unobserved | exogenous |
| e13 | unobserved | exogenous |
| d1 | unobserved | exogenous |
| d2 | unobserved | exogenous |

Number of variables in your model: 32

Number of observed variables: 13

Number of unobserved variables: 19

Number of exogenous variables: 17

Number of endogenous variables: 15

Summary of Parameters

| | Weights | Covariances | Variances | Means | Intercepts | Total |
|------------|---------|-------------|-----------|-------|------------|-------|
| Fixed: | 19 | 0 | 0 | 0 | 0 | 19 |
| Labeled: | 0 | 0 | 0 | 0 | 0 | 0 |
| Unlabeled: | 12 | 2 | 17 | 0 | 0 | 31 |
| | | | | | | |
| Total: | 31 | 2 | 17 | 0 | 0 | 50 |

NOTE:

The model is recursive.

Assessment of normality

| | min | max | skew | c.r. | kurtosis | c.r. |
|--------------|-------|-------|--------|--------|----------|-------|
| MM13 | 1,000 | 5,000 | -0,239 | -1,029 | 0,125 | 0,268 |
| MM12 | 1,000 | 5,000 | -0,411 | -1,767 | 0,295 | 0,635 |
| MM11 | 1,000 | 5,000 | -0,295 | -1,270 | 0,152 | 0,327 |
| NK8 | 1,000 | 5,000 | -0,353 | -1,519 | 0,218 | 0,470 |
| NK9 | 1,000 | 5,000 | -0,281 | -1,209 | 0,086 | 0,185 |
| NK10 | 1,000 | 5,000 | -0,252 | -1,085 | 0,210 | 0,453 |
| PP5 | 1,000 | 5,000 | -0,351 | -1,509 | 0,221 | 0,474 |
| PP6 | 1,000 | 5,000 | -0,303 | -1,305 | 0,347 | 0,746 |
| PP7 | 1,000 | 5,000 | -0,433 | -1,863 | 0,165 | 0,355 |
| KP4 | 1,000 | 5,000 | -0,267 | -1,147 | 0,260 | 0,559 |
| KP3 | 1,000 | 5,000 | -0,326 | -1,403 | 0,220 | 0,473 |
| KP2 | 1,000 | 5,000 | -0,216 | -0,930 | 0,076 | 0,164 |
| KP1 | 1,000 | 5,000 | -0,216 | -0,930 | 0,076 | 0,164 |
| Multivariate | | | | | 13,091 | 2,492 |

Observations farthest from the centroid (Mahalanobis distance)

| Observation number | Mahalanobis d-squared | p1 | p2 |
|--------------------|-----------------------|-------|-------|
| 71 | 28,035 | 0,009 | 0,631 |
| 108 | 25,308 | 0,021 | 0,680 |
| 59 | 25,133 | 0,022 | 0,448 |
| 98 | 24,640 | 0,026 | 0,320 |
| 79 | 24,605 | 0,026 | 0,164 |
| 73 | 24,431 | 0,027 | 0,085 |
| 84 | 23,598 | 0,035 | 0,096 |
| 29 | 22,976 | 0,042 | 0,096 |
| 30 | 22,971 | 0,042 | 0,045 |
| 85 | 22,828 | 0,044 | 0,024 |
| 77 | 22,337 | 0,050 | 0,024 |
| 51 | 21,216 | 0,069 | 0,080 |
| 109 | 20,084 | 0,093 | 0,233 |
| 107 | 19,775 | 0,101 | 0,229 |
| 34 | 19,177 | 0,118 | 0,325 |
| 11 | 19,036 | 0,122 | 0,277 |
| 46 | 18,652 | 0,134 | 0,319 |
| 57 | 18,652 | 0,134 | 0,230 |
| 70 | 18,641 | 0,135 | 0,161 |
| 86 | 18,626 | 0,135 | 0,109 |
| 54 | 18,484 | 0,140 | 0,091 |
| 42 | 18,404 | 0,143 | 0,067 |
| 40 | 18,396 | 0,143 | 0,041 |
| 32 | 17,989 | 0,158 | 0,064 |
| 47 | 17,292 | 0,186 | 0,175 |
| 50 | 17,194 | 0,191 | 0,147 |
| 61 | 17,159 | 0,192 | 0,108 |
| 99 | 16,938 | 0,202 | 0,118 |
| 83 | 16,862 | 0,206 | 0,094 |
| 72 | 16,823 | 0,208 | 0,068 |

| | | | |
|-----|--------|-------|-------|
| 96 | 16,709 | 0,213 | 0,059 |
| 103 | 16,653 | 0,216 | 0,044 |
| 26 | 16,608 | 0,218 | 0,031 |
| 19 | 16,347 | 0,231 | 0,041 |
| 105 | 15,793 | 0,261 | 0,115 |
| 82 | 15,683 | 0,267 | 0,104 |
| | | | |
| 43 | 15,529 | 0,276 | 0,106 |
| 37 | 15,145 | 0,298 | 0,181 |
| 63 | 15,139 | 0,299 | 0,135 |
| 66 | 15,095 | 0,301 | 0,107 |
| 67 | 14,904 | 0,313 | 0,122 |
| 78 | 14,358 | 0,349 | 0,290 |
| 74 | 14,342 | 0,350 | 0,234 |
| 101 | 14,197 | 0,360 | 0,241 |
| 95 | 14,172 | 0,362 | 0,195 |
| 55 | 14,045 | 0,371 | 0,196 |
| 88 | 13,772 | 0,390 | 0,265 |
| 81 | 13,749 | 0,392 | 0,217 |
| 92 | 13,681 | 0,397 | 0,193 |
| 100 | 13,661 | 0,398 | 0,152 |
| 53 | 13,656 | 0,399 | 0,113 |
| 104 | 13,476 | 0,412 | 0,132 |
| 13 | 13,295 | 0,425 | 0,155 |
| 52 | 13,080 | 0,442 | 0,196 |
| 69 | 12,936 | 0,453 | 0,209 |
| 75 | 12,855 | 0,459 | 0,193 |
| 33 | 12,852 | 0,459 | 0,147 |
| 39 | 12,785 | 0,465 | 0,129 |
| 25 | 12,683 | 0,473 | 0,125 |
| 44 | 12,614 | 0,478 | 0,111 |
| 87 | 12,584 | 0,480 | 0,087 |
| 15 | 12,179 | 0,513 | 0,194 |
| 110 | 12,060 | 0,523 | 0,198 |
| 68 | 11,716 | 0,551 | 0,329 |
| 65 | 11,631 | 0,558 | 0,314 |
| 97 | 11,616 | 0,559 | 0,258 |
| 1 | 11,237 | 0,591 | 0,433 |
| 94 | 11,066 | 0,605 | 0,479 |
| 36 | 10,851 | 0,623 | 0,556 |
| 102 | 10,777 | 0,630 | 0,533 |
| 58 | 10,621 | 0,643 | 0,568 |
| 38 | 10,296 | 0,670 | 0,718 |
| 18 | 10,202 | 0,677 | 0,710 |
| 106 | 10,195 | 0,678 | 0,642 |
| 62 | 10,120 | 0,684 | 0,619 |
| 56 | 10,036 | 0,691 | 0,602 |
| 10 | 9,995 | 0,694 | 0,552 |
| 16 | 9,900 | 0,702 | 0,541 |
| 48 | 9,440 | 0,739 | 0,779 |
| 93 | 9,318 | 0,749 | 0,786 |
| 3 | 9,273 | 0,752 | 0,747 |
| 111 | 9,228 | 0,755 | 0,703 |
| 12 | 9,114 | 0,764 | 0,704 |
| 90 | 8,767 | 0,790 | 0,838 |

| | | | |
|----|-------|-------|-------|
| 31 | 8,415 | 0,816 | 0,926 |
| 28 | 7,834 | 0,854 | 0,991 |
| 45 | 7,773 | 0,858 | 0,988 |
| 2 | 7,679 | 0,864 | 0,986 |
| 6 | 7,639 | 0,866 | 0,979 |
| 7 | 7,354 | 0,883 | 0,991 |
| 80 | 6,680 | 0,918 | 1,000 |
| 41 | 6,271 | 0,936 | 1,000 |
| 60 | 6,131 | 0,941 | 1,000 |
| 24 | 6,016 | 0,946 | 1,000 |
| 8 | 5,978 | 0,947 | 1,000 |
| 64 | 5,940 | 0,948 | 1,000 |
| 20 | 5,908 | 0,949 | 1,000 |
| 23 | 5,830 | 0,952 | 0,999 |
| 4 | 5,654 | 0,958 | 0,999 |
| 21 | 5,512 | 0,962 | 0,999 |

Sample size: 111

Sample Covariances

| | MM13 | MM12 | MM11 | NK8 | NK9 | NK10 | PP5 |
|------|---------|--------|---------|--------|--------|--------|--------|
| MM13 | 0,6663 | | | | | | |
| MM12 | 0,4492 | 0,6615 | | | | | |
| MM11 | 0,4710 | 0,4335 | 0,6449 | | | | |
| NK8 | 0,2083 | 0,2298 | 0,2209 | 0,6717 | | | |
| NK9 | 0,2202 | 0,2141 | 0,2057 | 0,4591 | 0,7058 | | |
| NK10 | 0,1770 | 0,1855 | 0,2070 | 0,5021 | 0,5951 | 0,7417 | |
| PP5 | 0,1742 | 0,1742 | 0,1952 | 0,2643 | 0,3033 | 0,2793 | 0,6366 |
| PP6 | 0,1680 | 0,1585 | 0,2070 | 0,1958 | 0,2437 | 0,2462 | 0,5045 |
| PP7 | 0,2462 | 0,2192 | 0,2492 | 0,2462 | 0,2763 | 0,2793 | 0,5646 |
| KP4 | 0,0144 | 0,0398 | 0,0727 | 0,1026 | 0,1158 | 0,2264 | 0,0511 |
| KP3 | 0,0670 | 0,0970 | 0,1246 | 0,1888 | 0,1923 | 0,2978 | 0,0961 |
| KP2 | -0,0240 | 0,0120 | 0,0060 | 0,1291 | 0,1051 | 0,1892 | 0,1141 |
| KP1 | -0,0420 | 0,0120 | -0,0120 | 0,1291 | 0,0961 | 0,1892 | 0,0601 |
| | PP6 | PP7 | KP4 | KP3 | KP2 | KP1 | |
| PP6 | 0,6155 | | | | | | |
| PP7 | 0,5495 | 0,7267 | | | | | |
| KP4 | 0,0733 | 0,0871 | 0,5733 | | | | |
| KP3 | 0,0996 | 0,1231 | 0,4852 | 0,6698 | | | |
| KP2 | 0,0991 | 0,1051 | 0,4565 | 0,4835 | 0,6907 | | |
| KP1 | 0,0631 | 0,0691 | 0,4745 | 0,5015 | 0,6456 | 0,6907 | |

Eigenvalues of Sample Covariances

| | | | | | |
|------------|------------|------------|------------|------------|------------|
| 3,972e-002 | 9,376e-002 | 1,069e-001 | 1,155e-001 | 1,360e-001 | 1,731e-001 |
| 2,137e-001 | 2,276e-001 | 2,981e-001 | 9,196e-001 | 1,046e+000 | 1,979e+000 |
| 3,346e+000 | | | | | |

Condition number of Sample Covariances = 8,422590e+001

Sample Correlations

| | MM13 | MM12 | MM11 | NK8 | NK9 | NK10 | PP5 |
|------|--------|-------|--------|-------|-------|-------|-------|
| MM13 | 1,000 | | | | | | |
| MM12 | 0,677 | 1,000 | | | | | |
| MM11 | 0,718 | 0,664 | 1,000 | | | | |
| NK8 | 0,311 | 0,345 | 0,336 | 1,000 | | | |
| NK9 | 0,321 | 0,313 | 0,305 | 0,667 | 1,000 | | |
| NK10 | 0,252 | 0,265 | 0,299 | 0,711 | 0,823 | 1,000 | |
| PP5 | 0,267 | 0,268 | 0,305 | 0,404 | 0,452 | 0,406 | 1,000 |
| PP6 | 0,262 | 0,248 | 0,328 | 0,304 | 0,370 | 0,364 | 0,806 |
| PP7 | 0,354 | 0,316 | 0,364 | 0,352 | 0,386 | 0,380 | 0,830 |
| KP4 | 0,023 | 0,065 | 0,120 | 0,165 | 0,182 | 0,347 | 0,084 |
| KP3 | 0,100 | 0,146 | 0,190 | 0,281 | 0,280 | 0,423 | 0,147 |
| KP2 | -0,035 | 0,018 | 0,009 | 0,190 | 0,151 | 0,264 | 0,172 |
| KP1 | -0,062 | 0,018 | -0,018 | 0,190 | 0,138 | 0,264 | 0,091 |
| | PP6 | PP7 | KP4 | KP3 | KP2 | KP1 | |
| PP6 | 1,000 | | | | | | |
| PP7 | 0,822 | 1,000 | | | | | |
| KP4 | 0,123 | 0,135 | 1,000 | | | | |
| KP3 | 0,155 | 0,176 | 0,783 | 1,000 | | | |
| KP2 | 0,152 | 0,148 | 0,725 | 0,711 | 1,000 | | |
| KP1 | 0,097 | 0,097 | 0,754 | 0,737 | 0,935 | 1,000 | |

Eigenvalues of Sample Correlations

| | | | | | |
|------------|------------|------------|------------|------------|------------|
| 5,763e-002 | 1,340e-001 | 1,570e-001 | 1,842e-001 | 2,125e-001 | 2,611e-001 |
| 3,214e-001 | 3,383e-001 | 4,515e-001 | 1,329e+000 | 1,595e+000 | 2,998e+000 |
| 4,960e+000 | | | | | |

Condition number of Sample Correlations = 8,606576e+001

Determinant of sample covariance matrix = 9,9966e-008

Model: Default model

Computation of degrees of freedom

Number of distinct sample moments: 91
 Number of distinct parameters to be estimated: 31

 Degrees of freedom: 60

| | | | | |
|----------------|--------------|-----------|--------------------|--------------|
| 0e 9 0,0e+000 | -7,0879e-001 | 1,00e+004 | 1,19483953084e+003 | 0 1,00e+004 |
| 1e 10 0,0e+000 | -7,8840e-001 | 2,55e+000 | 5,62852466301e+002 | 20 6,02e-001 |
| 2e* 8 0,0e+000 | -1,5903e+000 | 5,71e-001 | 3,79941648747e+002 | 6 1,02e+000 |
| 3e 7 0,0e+000 | -3,8337e-001 | 1,86e-001 | 3,16805874175e+002 | 5 8,95e-001 |
| 4e* 0 1,8e+003 | 0,0000e+000 | 7,79e-001 | 1,54865353771e+002 | 7 7,58e-001 |
| 5e 0 8,4e+002 | 0,0000e+000 | 4,38e-001 | 1,09674548703e+002 | 4 0,00e+000 |
| 6e 0 2,0e+002 | 0,0000e+000 | 8,20e-001 | 1,04491308185e+002 | 2 0,00e+000 |
| 7e 0 1,6e+002 | 0,0000e+000 | 1,94e-001 | 7,76155802609e+001 | 1 1,18e+000 |
| 8e 0 1,7e+002 | 0,0000e+000 | 1,11e-001 | 7,08238182826e+001 | 1 1,19e+000 |
| 9e 0 1,7e+002 | 0,0000e+000 | 5,37e-002 | 6,98764022564e+001 | 1 1,12e+000 |
| 10e 0 1,8e+002 | 0,0000e+000 | 1,42e-002 | 6,98392564875e+001 | 1 1,03e+000 |
| 11e 0 1,8e+002 | 0,0000e+000 | 7,30e-004 | 6,98391723648e+001 | 1 1,00e+000 |

Minimum was achieved

Chi-square = 69,839
 Degrees of freedom = 60
 Probability level = 0,181

Maximum Likelihood Estimates

| Regression Weights: | Estimate | S.E. | C.R. | Label |
|---------------------|----------|-------|--------|--------|
| NK <----- KP | 0,185 | 0,089 | 2,083 | par-10 |
| NK <----- PP | 0,472 | 0,095 | 4,946 | par-11 |
| MM <----- NK | 0,347 | 0,090 | 3,850 | par-12 |
| KP1 <----- KP | 1,000 | | | |
| KP2 <----- KP | 0,969 | 0,042 | 22,880 | par-1 |
| KP3 <----- KP | 0,753 | 0,067 | 11,231 | par-2 |
| KP4 <----- KP | 0,711 | 0,060 | 11,770 | par-3 |
| PP7 <----- PP | 1,000 | | | |
| PP6 <----- PP | 0,893 | 0,062 | 14,370 | par-4 |
| PP5 <----- PP | 0,925 | 0,063 | 14,737 | par-5 |
| NK10 <----- NK | 1,000 | | | |
| NK9 <----- NK | 0,936 | 0,072 | 13,004 | par-6 |
| NK8 <----- NK | 0,792 | 0,077 | 10,240 | par-7 |
| MM11 <----- MM | 1,000 | | | |
| MM12 <----- MM | 0,953 | 0,106 | 8,963 | par-8 |
| MM13 <----- MM | 1,026 | 0,107 | 9,561 | par-9 |

Standardized Regression Weights: Estimate

| | |
|----------------|-------|
| NK <----- KP | 0,190 |
| NK <----- PP | 0,464 |
| MM <----- NK | 0,407 |
| KP1 <----- KP | 0,982 |
| KP2 <----- KP | 0,951 |
| KP3 <----- KP | 0,751 |
| KP4 <----- KP | 0,767 |
| PP7 <----- PP | 0,918 |
| PP6 <----- PP | 0,891 |
| PP5 <----- PP | 0,907 |
| NK10 <----- NK | 0,923 |
| NK9 <----- NK | 0,886 |
| NK8 <----- NK | 0,768 |
| MM11 <----- MM | 0,843 |
| MM12 <----- MM | 0,793 |
| MM13 <----- MM | 0,851 |

Covariances: Estimate S.E. C.R. Label

| | | | | |
|---------------|-------|-------|-------|--------|
| KP <-----> PP | 0,083 | 0,065 | 1,273 | par-13 |
| e3 <-----> e4 | 0,128 | 0,029 | 4,357 | par-14 |

Correlations: Estimate

| | |
|---------------|-------|
| KP <-----> PP | 0,130 |
| e3 <-----> e4 | 0,488 |

Variances: Estimate S.E. C.R. Label

| | | | | |
|-----|-------|-------|-------|--------|
| KP | 0,666 | 0,095 | 7,039 | par-15 |
| PP | 0,612 | 0,099 | 6,171 | par-16 |
| d1 | 0,459 | 0,079 | 5,801 | par-17 |
| d2 | 0,382 | 0,077 | 4,985 | par-18 |
| e1 | 0,024 | 0,018 | 1,392 | par-19 |
| e2 | 0,065 | 0,018 | 3,585 | par-20 |
| e3 | 0,292 | 0,041 | 7,111 | par-21 |
| e4 | 0,236 | 0,033 | 7,092 | par-22 |
| e7 | 0,115 | 0,027 | 4,322 | par-23 |
| e6 | 0,127 | 0,024 | 5,233 | par-24 |
| e5 | 0,113 | 0,024 | 4,652 | par-25 |
| e10 | 0,109 | 0,034 | 3,228 | par-26 |
| e9 | 0,152 | 0,034 | 4,539 | par-27 |
| e8 | 0,275 | 0,043 | 6,398 | par-28 |
| e11 | 0,187 | 0,042 | 4,496 | par-29 |
| e12 | 0,246 | 0,045 | 5,453 | par-30 |
| e13 | 0,184 | 0,042 | 4,332 | par-31 |

Squared Multiple Correlations: Estimate

| | | ----- | ----- |
|--|------|-------|-------|
| | NK | 0,274 | |
| | MM | 0,166 | |
| | MM13 | 0,724 | |
| | MM12 | 0,628 | |
| | MM11 | 0,710 | |
| | NK8 | 0,591 | |
| | NK9 | 0,784 | |
| | NK10 | 0,852 | |
| | PP5 | 0,823 | |
| | PP6 | 0,793 | |
| | PP7 | 0,842 | |
| | KP4 | 0,588 | |
| | KP3 | 0,564 | |
| | KP2 | 0,905 | |
| | KP1 | 0,965 | |

Implied (for all variables) Covariances

| | PP | KP | NK | MM | MM13 | MM12 | MM11 | |
|------|-------|-------|-------|-------|-------|-------|-------|--|
| PP | 0,612 | | | | | | | |
| KP | 0,083 | 0,666 | | | | | | |
| NK | 0,304 | 0,162 | 0,632 | | | | | |
| MM | 0,105 | 0,056 | 0,219 | 0,458 | | | | |
| MM13 | 0,108 | 0,058 | 0,225 | 0,470 | 0,666 | | | |
| MM12 | 0,100 | 0,054 | 0,209 | 0,436 | 0,448 | 0,661 | | |
| MM11 | 0,105 | 0,056 | 0,219 | 0,458 | 0,470 | 0,436 | 0,645 | |
| NK8 | 0,241 | 0,129 | 0,501 | 0,174 | 0,178 | 0,165 | 0,174 | |
| NK9 | 0,284 | 0,152 | 0,592 | 0,205 | 0,210 | 0,195 | 0,205 | |
| NK10 | 0,304 | 0,162 | 0,632 | 0,219 | 0,225 | 0,209 | 0,219 | |
| PP5 | 0,566 | 0,077 | 0,281 | 0,098 | 0,100 | 0,093 | 0,098 | |
| PP6 | 0,547 | 0,074 | 0,272 | 0,094 | 0,097 | 0,090 | 0,094 | |
| PP7 | 0,612 | 0,083 | 0,304 | 0,105 | 0,108 | 0,100 | 0,105 | |
| KP4 | 0,059 | 0,474 | 0,116 | 0,040 | 0,041 | 0,038 | 0,040 | |
| KP3 | 0,062 | 0,502 | 0,122 | 0,042 | 0,044 | 0,040 | 0,042 | |
| KP2 | 0,080 | 0,645 | 0,157 | 0,055 | 0,056 | 0,052 | 0,055 | |
| KP1 | 0,083 | 0,666 | 0,162 | 0,056 | 0,058 | 0,054 | 0,056 | |
| | NK8 | NK9 | NK10 | PP5 | PP6 | PP7 | KP4 | |
| NK8 | 0,672 | | | | | | | |
| NK9 | 0,469 | 0,706 | | | | | | |
| NK10 | 0,501 | 0,592 | 0,742 | | | | | |
| PP5 | 0,223 | 0,263 | 0,281 | 0,637 | | | | |
| PP6 | 0,215 | 0,254 | 0,272 | 0,506 | 0,616 | | | |
| PP7 | 0,241 | 0,284 | 0,304 | 0,566 | 0,547 | 0,727 | | |
| KP4 | 0,092 | 0,108 | 0,116 | 0,054 | 0,053 | 0,059 | 0,573 | |
| KP3 | 0,097 | 0,114 | 0,122 | 0,058 | 0,056 | 0,062 | 0,485 | |
| KP2 | 0,125 | 0,147 | 0,157 | 0,074 | 0,072 | 0,080 | 0,459 | |
| KP1 | 0,129 | 0,152 | 0,162 | 0,077 | 0,074 | 0,083 | 0,474 | |

| | KP3 | KP2 | KP1 |
|-----|-------|-------|-------|
| KP3 | 0,670 | | |
| KP2 | 0,486 | 0,691 | |
| KP1 | 0,502 | 0,645 | 0,691 |

Implied (for all variables) Correlations

| | PP | KP | NK | MM | MM13 | MM12 | MM11 |
|------|-------|-------|-------|-------|-------|-------|-------|
| PP | 1,000 | | | | | | |
| KP | 0,130 | 1,000 | | | | | |
| NK | 0,489 | 0,250 | 1,000 | | | | |
| MM | 0,199 | 0,102 | 0,407 | 1,000 | | | |
| MM13 | 0,169 | 0,087 | 0,347 | 0,851 | 1,000 | | |
| MM12 | 0,158 | 0,081 | 0,323 | 0,793 | 0,674 | 1,000 | |
| MM11 | 0,168 | 0,086 | 0,343 | 0,843 | 0,717 | 0,668 | 1,000 |
| NK8 | 0,376 | 0,192 | 0,768 | 0,313 | 0,266 | 0,248 | 0,264 |
| NK9 | 0,433 | 0,222 | 0,886 | 0,361 | 0,307 | 0,286 | 0,304 |
| NK10 | 0,451 | 0,231 | 0,923 | 0,376 | 0,320 | 0,298 | 0,317 |
| PP5 | 0,907 | 0,118 | 0,443 | 0,181 | 0,154 | 0,143 | 0,152 |
| PP6 | 0,891 | 0,115 | 0,435 | 0,177 | 0,151 | 0,141 | 0,150 |
| PP7 | 0,918 | 0,119 | 0,449 | 0,183 | 0,155 | 0,145 | 0,154 |
| KP4 | 0,099 | 0,767 | 0,192 | 0,078 | 0,067 | 0,062 | 0,066 |
| KP3 | 0,097 | 0,751 | 0,188 | 0,077 | 0,065 | 0,061 | 0,065 |
| KP2 | 0,123 | 0,951 | 0,238 | 0,097 | 0,082 | 0,077 | 0,082 |
| KP1 | 0,127 | 0,982 | 0,246 | 0,100 | 0,085 | 0,079 | 0,084 |
| | NK8 | NK9 | NK10 | PP5 | PP6 | PP7 | KP4 |
| NK8 | 1,000 | | | | | | |
| NK9 | 0,681 | 1,000 | | | | | |
| NK10 | 0,710 | 0,818 | 1,000 | | | | |
| PP5 | 0,341 | 0,393 | 0,409 | 1,000 | | | |
| PP6 | 0,335 | 0,386 | 0,402 | 0,808 | 1,000 | | |
| PP7 | 0,345 | 0,397 | 0,414 | 0,832 | 0,817 | 1,000 | |
| KP4 | 0,147 | 0,170 | 0,177 | 0,090 | 0,089 | 0,091 | 1,000 |
| KP3 | 0,144 | 0,166 | 0,174 | 0,088 | 0,087 | 0,089 | 0,783 |
| KP2 | 0,183 | 0,211 | 0,220 | 0,112 | 0,110 | 0,113 | 0,730 |
| KP1 | 0,189 | 0,218 | 0,227 | 0,115 | 0,113 | 0,117 | 0,753 |
| | KP3 | KP2 | KP1 | | | | |
| KP3 | 1,000 | | | | | | |
| KP2 | 0,715 | 1,000 | | | | | |
| KP1 | 0,738 | 0,934 | 1,000 | | | | |

Implied Covariances

| | MM13 | MM12 | MM11 | NK8 | NK9 | NK10 | PP5 |
|------|-------|-------|-------|-------|-------|-------|-------|
| MM13 | 0,666 | | | | | | |
| MM12 | 0,448 | 0,661 | | | | | |
| MM11 | 0,470 | 0,436 | 0,645 | | | | |
| NK8 | 0,178 | 0,165 | 0,174 | 0,672 | | | |
| NK9 | 0,210 | 0,195 | 0,205 | 0,469 | 0,706 | | |
| NK10 | 0,225 | 0,209 | 0,219 | 0,501 | 0,592 | 0,742 | |
| PP5 | 0,100 | 0,093 | 0,098 | 0,223 | 0,263 | 0,281 | 0,637 |
| PP6 | 0,097 | 0,090 | 0,094 | 0,215 | 0,254 | 0,272 | 0,506 |
| PP7 | 0,108 | 0,100 | 0,105 | 0,241 | 0,284 | 0,304 | 0,566 |
| KP4 | 0,041 | 0,038 | 0,040 | 0,092 | 0,108 | 0,116 | 0,054 |
| KP3 | 0,044 | 0,040 | 0,042 | 0,097 | 0,114 | 0,122 | 0,058 |
| KP2 | 0,056 | 0,052 | 0,055 | 0,125 | 0,147 | 0,157 | 0,074 |
| KP1 | 0,058 | 0,054 | 0,056 | 0,129 | 0,152 | 0,162 | 0,077 |
| PP6 | | | | | | | |
| PP7 | | | | | | | |
| KP4 | | | | | | | |
| KP3 | | | | | | | |
| KP2 | | | | | | | |
| KP1 | | | | | | | |

Implied Correlations

| | MM13 | MM12 | MM11 | NK8 | NK9 | NK10 | PP5 |
|------|-------|-------|-------|-------|-------|-------|-------|
| MM13 | 1,000 | | | | | | |
| MM12 | 0,674 | 1,000 | | | | | |
| MM11 | 0,717 | 0,668 | 1,000 | | | | |
| NK8 | 0,266 | 0,248 | 0,264 | 1,000 | | | |
| NK9 | 0,307 | 0,286 | 0,304 | 0,681 | 1,000 | | |
| NK10 | 0,320 | 0,298 | 0,317 | 0,710 | 0,818 | 1,000 | |
| PP5 | 0,154 | 0,143 | 0,152 | 0,341 | 0,393 | 0,409 | 1,000 |
| PP6 | 0,151 | 0,141 | 0,150 | 0,335 | 0,386 | 0,402 | 0,808 |
| PP7 | 0,155 | 0,145 | 0,154 | 0,345 | 0,397 | 0,414 | 0,832 |
| KP4 | 0,067 | 0,062 | 0,066 | 0,147 | 0,170 | 0,177 | 0,090 |
| KP3 | 0,065 | 0,061 | 0,065 | 0,144 | 0,166 | 0,174 | 0,088 |
| KP2 | 0,082 | 0,077 | 0,082 | 0,183 | 0,211 | 0,220 | 0,112 |
| KP1 | 0,085 | 0,079 | 0,084 | 0,189 | 0,218 | 0,227 | 0,115 |
| PP6 | | | | | | | |
| PP7 | | | | | | | |
| KP4 | | | | | | | |
| KP3 | | | | | | | |
| KP2 | | | | | | | |
| KP1 | | | | | | | |

Residual Covariances

| | MM13 | MM12 | MM11 | NK8 | NK9 | NK10 | PP5 |
|------|---------|---------|---------|---------|---------|---------|---------|
| MM13 | 0,0000 | | | | | | |
| MM12 | 0,0014 | 0,0000 | | | | | |
| MM11 | 0,0010 | -0,0029 | 0,0000 | | | | |
| NK8 | 0,0302 | 0,0643 | 0,0473 | 0,0000 | | | |
| NK9 | 0,0097 | 0,0187 | 0,0005 | -0,0096 | 0,0000 | | |
| NK10 | -0,0479 | -0,0233 | -0,0123 | 0,0013 | 0,0035 | 0,0000 | |
| PP5 | 0,0741 | 0,0813 | 0,0977 | 0,0415 | 0,0401 | -0,0020 | 0,0000 |
| PP6 | 0,0714 | 0,0688 | 0,1128 | -0,0194 | -0,0105 | -0,0255 | -0,0012 |
| PP7 | 0,1381 | 0,1188 | 0,1438 | 0,0054 | -0,0082 | -0,0248 | -0,0015 |
| KP4 | -0,0267 | 0,0016 | 0,0327 | 0,0111 | 0,0077 | 0,1109 | -0,0034 |
| KP3 | 0,0235 | 0,0566 | 0,0822 | 0,0919 | 0,0778 | 0,1755 | 0,0384 |
| KP2 | -0,0800 | -0,0399 | -0,0485 | 0,0045 | -0,0421 | 0,0319 | 0,0399 |
| KP1 | -0,0998 | -0,0416 | -0,0683 | 0,0005 | -0,0558 | 0,0268 | -0,0165 |
| PP6 | | | | | | | |
| PP7 | | | | | | | |
| KP4 | | | | | | | |
| KP3 | | | | | | | |
| KP2 | | | | | | | |
| KP1 | | | | | | | |

Standardized Residual Covariances

| | MM13 | MM12 | MM11 | NK8 | NK9 | NK10 | PP5 |
|------|--------|--------|--------|--------|--------|--------|--------|
| MM13 | 0,000 | | | | | | |
| MM12 | 0,018 | 0,000 | | | | | |
| MM11 | 0,013 | -0,038 | 0,000 | | | | |
| NK8 | 0,457 | 0,982 | 0,728 | 0,000 | | | |
| NK9 | 0,142 | 0,276 | 0,008 | -0,120 | 0,000 | | |
| NK10 | -0,681 | -0,335 | -0,178 | 0,015 | 0,039 | 0,000 | |
| PP5 | 1,179 | 1,300 | 1,580 | 0,629 | 0,584 | -0,028 | 0,000 |
| PP6 | 1,155 | 1,119 | 1,856 | -0,300 | -0,155 | -0,367 | -0,016 |
| PP7 | 2,056 | 1,778 | 2,178 | 0,077 | -0,112 | -0,327 | -0,018 |
| KP4 | -0,451 | 0,027 | 0,562 | 0,185 | 0,125 | 1,757 | -0,059 |
| KP3 | 0,369 | 0,890 | 1,309 | 1,423 | 1,171 | 2,573 | 0,615 |
| KP2 | -1,232 | -0,618 | -0,760 | 0,069 | -0,618 | 0,456 | 0,628 |
| KP1 | -1,538 | -0,644 | -1,070 | 0,008 | -0,820 | 0,383 | -0,260 |
| PP6 | | | | | | | |
| PP7 | | | | | | | |
| KP4 | | | | | | | |
| KP3 | | | | | | | |
| KP2 | | | | | | | |
| KP1 | | | | | | | |

Factor Score Weights

| | MM13 | MM12 | MM11 | NK8 | NK9 | NK10 | PP5 |
|----|-------|-------|-------|-------|-------|-------|-------|
| PP | 0,001 | 0,000 | 0,001 | 0,006 | 0,013 | 0,019 | 0,332 |
| KP | 0,000 | 0,000 | 0,000 | 0,001 | 0,002 | 0,003 | 0,000 |
| NK | 0,015 | 0,010 | 0,014 | 0,147 | 0,314 | 0,467 | 0,017 |
| MM | 0,321 | 0,224 | 0,309 | 0,008 | 0,016 | 0,024 | 0,001 |
| | PP6 | PP7 | KP4 | KP3 | KP2 | KP1 | |
| PP | 0,285 | 0,353 | 0,000 | 0,000 | 0,000 | 0,001 | |
| KP | 0,000 | 0,000 | 0,036 | 0,028 | 0,248 | 0,687 | |
| NK | 0,015 | 0,019 | 0,001 | 0,001 | 0,005 | 0,014 | |
| MM | 0,001 | 0,001 | 0,000 | 0,000 | 0,000 | 0,001 | |

Total Effects

| | PP | KP | NK | MM |
|------|-------|-------|-------|-------|
| NK | 0,472 | 0,185 | 0,000 | 0,000 |
| MM | 0,164 | 0,064 | 0,347 | 0,000 |
| MM13 | 0,168 | 0,066 | 0,356 | 1,026 |
| MM12 | 0,156 | 0,061 | 0,330 | 0,953 |
| MM11 | 0,164 | 0,064 | 0,347 | 1,000 |
| NK8 | 0,374 | 0,147 | 0,792 | 0,000 |
| NK9 | 0,442 | 0,173 | 0,936 | 0,000 |
| NK10 | 0,472 | 0,185 | 1,000 | 0,000 |
| PP5 | 0,925 | 0,000 | 0,000 | 0,000 |
| PP6 | 0,893 | 0,000 | 0,000 | 0,000 |
| PP7 | 1,000 | 0,000 | 0,000 | 0,000 |
| KP4 | 0,000 | 0,711 | 0,000 | 0,000 |
| KP3 | 0,000 | 0,753 | 0,000 | 0,000 |
| KP2 | 0,000 | 0,969 | 0,000 | 0,000 |
| KP1 | 0,000 | 1,000 | 0,000 | 0,000 |

Standardized Total Effects

| | PP | KP | NK | MM |
|------|-------|-------|-------|-------|
| NK | 0,464 | 0,190 | 0,000 | 0,000 |
| MM | 0,189 | 0,077 | 0,407 | 0,000 |
| MM13 | 0,161 | 0,066 | 0,347 | 0,851 |
| MM12 | 0,150 | 0,061 | 0,323 | 0,793 |
| MM11 | 0,159 | 0,065 | 0,343 | 0,843 |
| NK8 | 0,357 | 0,146 | 0,768 | 0,000 |
| NK9 | 0,411 | 0,168 | 0,886 | 0,000 |
| NK10 | 0,429 | 0,175 | 0,923 | 0,000 |
| PP5 | 0,907 | 0,000 | 0,000 | 0,000 |
| PP6 | 0,891 | 0,000 | 0,000 | 0,000 |
| PP7 | 0,918 | 0,000 | 0,000 | 0,000 |
| KP4 | 0,000 | 0,767 | 0,000 | 0,000 |
| KP3 | 0,000 | 0,751 | 0,000 | 0,000 |

| | | | | |
|-----|-------|-------|-------|-------|
| KP2 | 0,000 | 0,951 | 0,000 | 0,000 |
| KP1 | 0,000 | 0,982 | 0,000 | 0,000 |

Direct Effects

| | PP | KP | NK | MM |
|------|-------|-------|-------|-------|
| NK | 0,472 | 0,185 | 0,000 | 0,000 |
| MM | 0,000 | 0,000 | 0,347 | 0,000 |
| MM13 | 0,000 | 0,000 | 0,000 | 1,026 |
| MM12 | 0,000 | 0,000 | 0,000 | 0,953 |
| MM11 | 0,000 | 0,000 | 0,000 | 1,000 |
| NK8 | 0,000 | 0,000 | 0,792 | 0,000 |
| NK9 | 0,000 | 0,000 | 0,936 | 0,000 |
| NK10 | 0,000 | 0,000 | 1,000 | 0,000 |
| PP5 | 0,925 | 0,000 | 0,000 | 0,000 |
| PP6 | 0,893 | 0,000 | 0,000 | 0,000 |
| PP7 | 1,000 | 0,000 | 0,000 | 0,000 |
| KP4 | 0,000 | 0,711 | 0,000 | 0,000 |
| KP3 | 0,000 | 0,753 | 0,000 | 0,000 |
| KP2 | 0,000 | 0,969 | 0,000 | 0,000 |
| KP1 | 0,000 | 1,000 | 0,000 | 0,000 |

Standardized Direct Effects

| | PP | KP | NK | MM |
|------|-------|-------|-------|-------|
| NK | 0,464 | 0,190 | 0,000 | 0,000 |
| MM | 0,000 | 0,000 | 0,407 | 0,000 |
| MM13 | 0,000 | 0,000 | 0,000 | 0,851 |
| MM12 | 0,000 | 0,000 | 0,000 | 0,793 |
| MM11 | 0,000 | 0,000 | 0,000 | 0,843 |
| NK8 | 0,000 | 0,000 | 0,768 | 0,000 |
| NK9 | 0,000 | 0,000 | 0,886 | 0,000 |
| NK10 | 0,000 | 0,000 | 0,923 | 0,000 |
| PP5 | 0,907 | 0,000 | 0,000 | 0,000 |
| PP6 | 0,891 | 0,000 | 0,000 | 0,000 |
| PP7 | 0,918 | 0,000 | 0,000 | 0,000 |
| KP4 | 0,000 | 0,767 | 0,000 | 0,000 |
| KP3 | 0,000 | 0,751 | 0,000 | 0,000 |
| KP2 | 0,000 | 0,951 | 0,000 | 0,000 |
| KP1 | 0,000 | 0,982 | 0,000 | 0,000 |

Indirect Effects

| | PP | KP | NK | MM |
|------|-------|-------|-------|-------|
| NK | 0,000 | 0,000 | 0,000 | 0,000 |
| MM | 0,164 | 0,064 | 0,000 | 0,000 |
| MM13 | 0,168 | 0,066 | 0,356 | 0,000 |
| MM12 | 0,156 | 0,061 | 0,330 | 0,000 |
| MM11 | 0,164 | 0,064 | 0,347 | 0,000 |

| | | | | |
|------|-------|-------|-------|-------|
| NK8 | 0,374 | 0,147 | 0,000 | 0,000 |
| NK9 | 0,442 | 0,173 | 0,000 | 0,000 |
| NK10 | 0,472 | 0,185 | 0,000 | 0,000 |
| PP5 | 0,000 | 0,000 | 0,000 | 0,000 |
| PP6 | 0,000 | 0,000 | 0,000 | 0,000 |
| PP7 | 0,000 | 0,000 | 0,000 | 0,000 |
| KP4 | 0,000 | 0,000 | 0,000 | 0,000 |
| KP3 | 0,000 | 0,000 | 0,000 | 0,000 |
| KP2 | 0,000 | 0,000 | 0,000 | 0,000 |
| KP1 | 0,000 | 0,000 | 0,000 | 0,000 |

Standardized Indirect Effects

| | PP | KP | NK | MM |
|------|-------|-------|-------|-------|
| NK | 0,000 | 0,000 | 0,000 | 0,000 |
| MM | 0,189 | 0,077 | 0,000 | 0,000 |
| MM13 | 0,161 | 0,066 | 0,347 | 0,000 |
| MM12 | 0,150 | 0,061 | 0,323 | 0,000 |
| MM11 | 0,159 | 0,065 | 0,343 | 0,000 |
| NK8 | 0,357 | 0,146 | 0,000 | 0,000 |
| NK9 | 0,411 | 0,168 | 0,000 | 0,000 |
| NK10 | 0,429 | 0,175 | 0,000 | 0,000 |
| PP5 | 0,000 | 0,000 | 0,000 | 0,000 |
| PP6 | 0,000 | 0,000 | 0,000 | 0,000 |
| PP7 | 0,000 | 0,000 | 0,000 | 0,000 |
| KP4 | 0,000 | 0,000 | 0,000 | 0,000 |
| KP3 | 0,000 | 0,000 | 0,000 | 0,000 |
| KP2 | 0,000 | 0,000 | 0,000 | 0,000 |
| KP1 | 0,000 | 0,000 | 0,000 | 0,000 |

Modification Indices

| Covariances: | M.I. | Par Change |
|---------------|-------|------------|
| d2 <----> PP | 5,161 | 0,117 |
| e10 <----> KP | 4,130 | 0,072 |
| e7 <----> d2 | 4,829 | 0,060 |
| e3 <----> d1 | 6,767 | 0,085 |
| e2 <----> e5 | 4,506 | 0,024 |
| e1 <----> PP | 4,857 | -0,047 |

| Variances: | M.I. | Par Change |
|------------|------|------------|
| | | |

| Regression Weights: | M.I. | Par Change |
|---------------------|-------|------------|
| MM <----- PP | 4,355 | 0,178 |
| NK10 <---- KP4 | 9,672 | 0,177 |

| | | |
|----------------|-------|--------|
| NK10 <---- KP3 | 7,336 | 0,143 |
| PP7 <---- MM13 | 4,522 | 0,105 |
| KP3 <---- NK | 7,550 | 0,163 |
| KP3 <---- MM | 5,957 | 0,174 |
| KP3 <---- MM11 | 5,574 | 0,133 |
| KP3 <---- NK8 | 5,288 | 0,127 |
| KP3 <---- NK9 | 5,823 | 0,130 |
| KP3 <---- NK10 | 7,068 | 0,139 |
| KP2 <---- PP5 | 5,636 | 0,083 |
| KP1 <---- PP | 4,772 | -0,077 |
| KP1 <---- PP5 | 5,905 | -0,081 |

Variance-covariance Matrix of Estimates

| | par-1 | par-2 | par-3 | par-4 | par-5 | par-6 | par-7 |
|--------|----------|----------|----------|----------|----------|----------|----------|
| par-1 | 0,00179 | | | | | | |
| par-2 | 0,00058 | 0,00450 | | | | | |
| par-3 | 0,00053 | 0,00217 | 0,00365 | | | | |
| par-4 | 0,00000 | 0,00000 | 0,00000 | 0,00387 | | | |
| par-5 | -0,00000 | -0,00000 | -0,00000 | 0,00178 | 0,00394 | | |
| par-6 | -0,00000 | -0,00001 | -0,00001 | 0,00000 | 0,00003 | 0,00518 | |
| par-7 | -0,00000 | -0,00001 | -0,00001 | -0,00000 | 0,00002 | 0,00192 | 0,00598 |
| par-8 | -0,00000 | -0,00000 | -0,00000 | -0,00000 | 0,00000 | 0,00005 | 0,00003 |
| par-9 | -0,00000 | -0,00000 | -0,00000 | -0,00000 | 0,00000 | 0,00007 | 0,00002 |
| par-10 | 0,00015 | 0,00016 | 0,00013 | -0,00000 | -0,00003 | -0,00104 | -0,00063 |
| par-11 | -0,00008 | -0,00006 | -0,00005 | 0,00089 | 0,00108 | -0,00069 | -0,00058 |
| par-12 | -0,00000 | -0,00000 | -0,00000 | -0,00001 | 0,00001 | 0,00120 | 0,00099 |
| par-13 | 0,00020 | 0,00012 | 0,00010 | -0,00015 | -0,00016 | -0,00000 | -0,00000 |
| par-14 | -0,00010 | -0,00014 | -0,00013 | -0,00000 | 0,00000 | 0,00001 | 0,00000 |
| par-15 | -0,00084 | -0,00059 | -0,00054 | -0,00000 | 0,00000 | 0,00000 | 0,00000 |
| par-16 | 0,00000 | 0,00000 | 0,00000 | -0,00229 | -0,00245 | -0,00002 | -0,00001 |
| par-17 | -0,00000 | -0,00001 | -0,00001 | -0,00000 | -0,00010 | -0,00219 | -0,00176 |
| par-18 | 0,00000 | 0,00000 | 0,00000 | 0,00000 | -0,00000 | -0,00021 | -0,00017 |
| par-19 | 0,00041 | 0,00025 | 0,00023 | 0,00000 | -0,00000 | -0,00000 | -0,00000 |
| par-20 | -0,00038 | -0,00020 | -0,00018 | -0,00000 | 0,00000 | 0,00000 | 0,00000 |
| par-21 | -0,00011 | -0,00018 | -0,00012 | -0,00000 | 0,00000 | 0,00001 | 0,00000 |
| par-22 | -0,00008 | -0,00010 | -0,00014 | -0,00000 | 0,00000 | 0,00000 | 0,00000 |
| par-23 | -0,00000 | -0,00000 | -0,00000 | 0,00042 | 0,00052 | 0,00002 | 0,00001 |
| par-24 | -0,00000 | -0,00000 | -0,00000 | -0,00034 | 0,00001 | 0,00001 | 0,00001 |
| par-25 | 0,00000 | 0,00000 | 0,00000 | -0,00006 | -0,00046 | -0,00002 | -0,00002 |
| par-26 | -0,00000 | -0,00001 | -0,00001 | -0,00000 | 0,00002 | 0,00109 | 0,00075 |
| par-27 | 0,00000 | 0,00000 | 0,00000 | -0,00000 | -0,00002 | -0,00095 | -0,00024 |
| par-28 | 0,00000 | 0,00000 | 0,00000 | 0,00000 | -0,00001 | -0,00007 | -0,00058 |
| par-29 | -0,00000 | -0,00000 | -0,00000 | -0,00000 | 0,00000 | 0,00004 | 0,00002 |
| par-30 | 0,00000 | 0,00000 | 0,00000 | 0,00000 | -0,00000 | -0,00001 | -0,00001 |
| par-31 | 0,00000 | 0,00000 | 0,00000 | 0,00000 | 0,00000 | -0,00003 | -0,00001 |
| | par-8 | par-9 | par-10 | par-11 | par-12 | par-13 | par-14 |
| par-8 | 0,01130 | | | | | | |
| par-9 | 0,00551 | 0,01152 | | | | | |
| par-10 | -0,00002 | -0,00003 | 0,00789 | | | | |
| par-11 | -0,00001 | -0,00001 | -0,00103 | 0,00910 | | | |

| | | | | | | | |
|--------|----------|----------|----------|----------|----------|----------|----------|
| par-12 | -0,00175 | -0,00217 | -0,00055 | -0,00009 | 0,00811 | | |
| par-13 | -0,00000 | -0,00000 | -0,00016 | -0,00012 | -0,00000 | 0,00423 | |
| par-14 | 0,00000 | 0,00000 | -0,00005 | 0,00002 | 0,00000 | -0,00005 | 0,00087 |
| par-15 | 0,00000 | 0,00000 | -0,00016 | 0,00006 | 0,00000 | 0,00088 | 0,00008 |
| par-16 | -0,00000 | 0,00000 | 0,00002 | -0,00125 | -0,00000 | 0,00112 | -0,00000 |
| par-17 | -0,00002 | -0,00002 | 0,00055 | -0,00005 | -0,00108 | 0,00000 | 0,00001 |
| par-18 | -0,00391 | -0,00431 | 0,00015 | -0,00006 | 0,00060 | 0,00000 | -0,00000 |
| par-19 | -0,00000 | -0,00000 | 0,00008 | -0,00006 | -0,00000 | 0,00016 | -0,00008 |
| par-20 | 0,00000 | 0,00000 | -0,00005 | 0,00005 | 0,00000 | -0,00014 | 0,00005 |
| par-21 | 0,00000 | 0,00000 | -0,00007 | 0,00003 | 0,00000 | -0,00006 | 0,00078 |
| par-22 | 0,00000 | 0,00000 | -0,00004 | 0,00002 | 0,00000 | -0,00004 | 0,00063 |
| par-23 | 0,00000 | -0,00000 | -0,00002 | 0,00027 | 0,00000 | -0,00003 | 0,00000 |
| par-24 | 0,00000 | 0,00000 | -0,00001 | 0,00003 | 0,00001 | 0,00001 | 0,00000 |
| par-25 | -0,00000 | -0,00000 | 0,00002 | -0,00016 | -0,00001 | 0,00002 | -0,00000 |
| par-26 | 0,00004 | 0,00004 | -0,00055 | 0,00002 | 0,00062 | -0,00000 | 0,00000 |
| par-27 | -0,00003 | -0,00004 | 0,00043 | 0,00001 | -0,00028 | 0,00000 | -0,00000 |
| par-28 | -0,00001 | 0,00000 | 0,00006 | 0,00000 | -0,00017 | 0,00000 | -0,00000 |
| par-29 | 0,00145 | 0,00178 | -0,00002 | -0,00001 | -0,00041 | -0,00000 | 0,00000 |
| par-30 | -0,00135 | -0,00003 | 0,00000 | 0,00000 | 0,00008 | 0,00000 | -0,00000 |
| par-31 | -0,00025 | -0,00185 | 0,00001 | 0,00001 | 0,00036 | 0,00000 | -0,00000 |

| | par-15 | par-16 | par-17 | par-18 | par-19 | par-20 | par-21 |
|--|--------|--------|--------|--------|--------|--------|--------|
|--|--------|--------|--------|--------|--------|--------|--------|

| | | | | | | | |
|--------|----------|----------|----------|----------|----------|----------|----------|
| par-15 | 0,00896 | | | | | | |
| par-16 | 0,00012 | 0,00983 | | | | | |
| par-17 | 0,00000 | 0,00006 | 0,00625 | | | | |
| par-18 | -0,00000 | -0,00000 | 0,00017 | 0,00587 | | | |
| par-19 | -0,00030 | 0,00000 | -0,00000 | 0,00000 | 0,00031 | | |
| par-20 | 0,00025 | -0,00000 | 0,00000 | -0,00000 | -0,00025 | 0,00033 | |
| par-21 | 0,00009 | -0,00000 | 0,00001 | -0,00000 | -0,00009 | 0,00006 | 0,00168 |
| par-22 | 0,00007 | -0,00000 | 0,00000 | -0,00000 | -0,00007 | 0,00005 | 0,00036 |
| par-23 | 0,00000 | -0,00047 | -0,00006 | 0,00000 | -0,00000 | 0,00000 | 0,00000 |
| par-24 | 0,00000 | 0,00009 | -0,00004 | -0,00000 | -0,00000 | 0,00000 | 0,00000 |
| par-25 | -0,00000 | 0,00019 | 0,00006 | 0,00000 | 0,00000 | -0,00000 | -0,00000 |
| par-26 | 0,00000 | -0,00001 | -0,00076 | -0,00018 | -0,00000 | 0,00000 | 0,00000 |
| par-27 | -0,00000 | 0,00001 | 0,00033 | 0,00009 | 0,00000 | -0,00000 | -0,00000 |
| par-28 | -0,00000 | 0,00000 | 0,00014 | 0,00006 | 0,00000 | -0,00000 | -0,00000 |
| par-29 | 0,00000 | 0,00000 | -0,00001 | -0,00091 | -0,00000 | 0,00000 | 0,00000 |
| par-30 | -0,00000 | 0,00000 | 0,00001 | 0,00024 | 0,00000 | -0,00000 | -0,00000 |
| par-31 | -0,00000 | -0,00000 | 0,00001 | 0,00036 | 0,00000 | 0,00000 | -0,00000 |

| | par-22 | par-23 | par-24 | par-25 | par-26 | par-27 | par-28 |
|--|--------|--------|--------|--------|--------|--------|--------|
|--|--------|--------|--------|--------|--------|--------|--------|

| | | | | | | | |
|--------|----------|----------|----------|----------|----------|----------|----------|
| par-22 | 0,00111 | | | | | | |
| par-23 | 0,00000 | 0,00071 | | | | | |
| par-24 | 0,00000 | -0,00009 | 0,00059 | | | | |
| par-25 | -0,00000 | -0,00019 | -0,00009 | 0,00059 | | | |
| par-26 | 0,00000 | 0,00001 | 0,00001 | -0,00002 | 0,00115 | | |
| par-27 | -0,00000 | -0,00001 | -0,00000 | 0,00001 | -0,00048 | 0,00113 | |
| par-28 | -0,00000 | -0,00000 | -0,00000 | 0,00001 | -0,00017 | -0,00006 | 0,00185 |
| par-29 | 0,00000 | -0,00000 | 0,00000 | -0,00000 | 0,00002 | -0,00002 | -0,00000 |
| par-30 | -0,00000 | -0,00000 | -0,00000 | 0,00000 | -0,00001 | 0,00000 | 0,00001 |
| par-31 | -0,00000 | 0,00000 | -0,00000 | 0,00000 | -0,00002 | 0,00002 | -0,00000 |

| | par-29 | par-30 | par-31 |
|--------|----------|----------|---------|
| par-29 | 0,00173 | | |
| par-30 | -0,00027 | 0,00203 | |
| par-31 | -0,00052 | -0,00025 | 0,00181 |

Correlations of Estimates

| | par-1 | par-2 | par-3 | par-4 | par-5 | par-6 | par-7 |
|--------|--------|--------|--------|--------|--------|--------|--------|
| par-1 | 1,000 | | | | | | |
| par-2 | 0,205 | 1,000 | | | | | |
| par-3 | 0,209 | 0,536 | 1,000 | | | | |
| par-4 | 0,000 | 0,000 | 0,000 | 1,000 | | | |
| par-5 | -0,000 | -0,000 | -0,000 | 0,457 | 1,000 | | |
| par-6 | -0,001 | -0,002 | -0,002 | 0,000 | 0,007 | 1,000 | |
| par-7 | -0,001 | -0,001 | -0,001 | -0,001 | 0,004 | 0,345 | 1,000 |
| par-8 | -0,000 | -0,000 | -0,000 | -0,000 | 0,000 | 0,007 | 0,004 |
| par-9 | -0,000 | -0,000 | -0,000 | -0,000 | 0,000 | 0,009 | 0,003 |
| par-10 | 0,040 | 0,027 | 0,024 | -0,001 | -0,006 | -0,163 | -0,092 |
| par-11 | -0,020 | -0,009 | -0,008 | 0,150 | 0,181 | -0,100 | -0,078 |
| par-12 | -0,000 | -0,001 | -0,000 | -0,001 | 0,001 | 0,185 | 0,142 |
| par-13 | 0,072 | 0,028 | 0,026 | -0,037 | -0,040 | -0,001 | -0,000 |
| par-14 | -0,077 | -0,072 | -0,071 | -0,000 | 0,000 | 0,003 | 0,002 |
| par-15 | -0,209 | -0,093 | -0,095 | -0,000 | 0,000 | 0,000 | 0,000 |
| par-16 | 0,000 | 0,000 | 0,000 | -0,371 | -0,394 | -0,002 | -0,001 |
| par-17 | -0,001 | -0,002 | -0,001 | -0,000 | -0,019 | -0,386 | -0,288 |
| par-18 | 0,000 | 0,000 | 0,000 | 0,001 | -0,000 | -0,038 | -0,029 |
| par-19 | 0,547 | 0,216 | 0,216 | 0,000 | -0,000 | -0,003 | -0,003 |
| par-20 | -0,487 | -0,163 | -0,162 | -0,000 | 0,000 | 0,001 | 0,001 |
| par-21 | -0,063 | -0,067 | -0,047 | -0,000 | 0,000 | 0,002 | 0,001 |
| par-22 | -0,059 | -0,046 | -0,067 | -0,000 | 0,000 | 0,002 | 0,001 |
| par-23 | -0,000 | -0,000 | -0,000 | 0,255 | 0,313 | 0,008 | 0,003 |
| par-24 | -0,000 | -0,000 | -0,000 | -0,222 | 0,007 | 0,006 | 0,006 |
| par-25 | 0,000 | 0,000 | 0,000 | -0,040 | -0,302 | -0,014 | -0,009 |
| par-26 | -0,002 | -0,003 | -0,003 | -0,001 | 0,011 | 0,448 | 0,285 |
| par-27 | 0,001 | 0,002 | 0,002 | -0,001 | -0,009 | -0,393 | -0,091 |
| par-28 | 0,001 | 0,001 | 0,001 | 0,001 | -0,002 | -0,022 | -0,173 |
| par-29 | -0,000 | -0,000 | -0,000 | -0,000 | 0,000 | 0,012 | 0,005 |
| par-30 | 0,000 | 0,000 | 0,000 | 0,000 | -0,000 | -0,004 | -0,003 |
| par-31 | 0,000 | 0,000 | 0,000 | 0,000 | 0,000 | -0,009 | -0,002 |

| | par-8 | par-9 | par-10 | par-11 | par-12 | par-13 | par-14 |
|--------|--------|--------|--------|--------|--------|--------|--------|
| par-8 | 1,000 | | | | | | |
| par-9 | 0,483 | 1,000 | | | | | |
| par-10 | -0,002 | -0,003 | 1,000 | | | | |
| par-11 | -0,001 | -0,001 | -0,122 | 1,000 | | | |
| par-12 | -0,182 | -0,224 | -0,068 | -0,011 | 1,000 | | |
| par-13 | -0,000 | -0,000 | -0,027 | -0,019 | -0,000 | 1,000 | |
| par-14 | 0,000 | 0,000 | -0,021 | 0,007 | 0,001 | -0,024 | 1,000 |
| par-15 | 0,000 | 0,000 | -0,019 | 0,006 | 0,000 | 0,143 | 0,027 |
| par-16 | -0,000 | 0,000 | 0,002 | -0,132 | -0,000 | 0,174 | -0,000 |

| | | | | | | | |
|--------|--------|--------|--------|--------|--------|--------|--------|
| par-17 | -0,003 | -0,003 | 0,078 | -0,007 | -0,151 | 0,000 | 0,003 |
| par-18 | -0,480 | -0,524 | 0,021 | -0,009 | 0,087 | 0,000 | -0,000 |
| par-19 | -0,000 | -0,000 | 0,048 | -0,034 | -0,001 | 0,138 | -0,147 |
| par-20 | 0,000 | 0,000 | -0,029 | 0,028 | 0,000 | -0,120 | 0,099 |
| par-21 | 0,000 | 0,000 | -0,019 | 0,007 | 0,001 | -0,021 | 0,645 |
| par-22 | 0,000 | 0,000 | -0,014 | 0,005 | 0,001 | -0,017 | 0,645 |
| par-23 | 0,000 | -0,000 | -0,009 | 0,105 | 0,000 | -0,015 | 0,000 |
| par-24 | 0,000 | 0,000 | -0,006 | 0,013 | 0,004 | 0,004 | 0,000 |
| par-25 | -0,000 | -0,000 | 0,008 | -0,067 | -0,004 | 0,010 | -0,000 |
| par-26 | 0,010 | 0,012 | -0,182 | 0,007 | 0,203 | -0,001 | 0,004 |
| par-27 | -0,008 | -0,012 | 0,145 | 0,003 | -0,091 | 0,001 | -0,003 |
| par-28 | -0,002 | 0,000 | 0,015 | 0,001 | -0,044 | 0,000 | -0,001 |
| par-29 | 0,328 | 0,399 | -0,004 | -0,002 | -0,110 | -0,000 | 0,000 |
| par-30 | -0,282 | -0,007 | 0,000 | 0,000 | 0,020 | 0,000 | -0,000 |
| par-31 | -0,055 | -0,405 | 0,004 | 0,001 | 0,094 | 0,000 | -0,000 |

| | par-15 | par-16 | par-17 | par-18 | par-19 | par-20 | par-21 |
|--|--------|--------|--------|--------|--------|--------|--------|
|--|--------|--------|--------|--------|--------|--------|--------|

| | | | | | | | |
|--------|--------|--------|--------|--------|--------|--------|--------|
| par-15 | 1,000 | | | | | | |
| par-16 | 0,013 | 1,000 | | | | | |
| par-17 | 0,001 | 0,007 | 1,000 | | | | |
| par-18 | -0,000 | -0,000 | 0,029 | 1,000 | | | |
| par-19 | -0,179 | 0,000 | -0,003 | 0,000 | 1,000 | | |
| par-20 | 0,142 | -0,000 | 0,000 | -0,000 | -0,767 | 1,000 | |
| par-21 | 0,022 | -0,000 | 0,003 | -0,000 | -0,120 | 0,081 | 1,000 |
| par-22 | 0,021 | -0,000 | 0,001 | -0,000 | -0,114 | 0,075 | 0,267 |
| par-23 | 0,000 | -0,177 | -0,027 | 0,001 | -0,000 | 0,000 | 0,000 |
| par-24 | 0,000 | 0,037 | -0,023 | -0,002 | -0,001 | 0,001 | 0,000 |
| par-25 | -0,000 | 0,080 | 0,032 | 0,001 | 0,001 | -0,001 | -0,000 |
| par-26 | 0,001 | -0,003 | -0,285 | -0,070 | -0,005 | 0,002 | 0,003 |
| par-27 | -0,000 | 0,003 | 0,124 | 0,033 | 0,002 | -0,000 | -0,003 |
| par-28 | -0,000 | 0,000 | 0,042 | 0,017 | 0,002 | -0,002 | -0,001 |
| par-29 | 0,000 | 0,000 | -0,004 | -0,285 | -0,000 | 0,000 | 0,000 |
| par-30 | -0,000 | 0,000 | 0,002 | 0,068 | 0,000 | -0,000 | -0,000 |
| par-31 | -0,000 | -0,000 | 0,002 | 0,111 | 0,000 | 0,000 | -0,000 |

| | par-22 | par-23 | par-24 | par-25 | par-26 | par-27 | par-28 |
|--|--------|--------|--------|--------|--------|--------|--------|
|--|--------|--------|--------|--------|--------|--------|--------|

| | | | | | | | |
|--------|--------|--------|--------|--------|--------|--------|--------|
| par-22 | 1,000 | | | | | | |
| par-23 | 0,000 | 1,000 | | | | | |
| par-24 | 0,000 | -0,136 | 1,000 | | | | |
| par-25 | -0,000 | -0,296 | -0,148 | 1,000 | | | |
| par-26 | 0,003 | 0,011 | 0,012 | -0,022 | 1,000 | | |
| par-27 | -0,002 | -0,011 | -0,006 | 0,016 | -0,421 | 1,000 | |
| par-28 | -0,001 | -0,001 | -0,005 | 0,005 | -0,113 | -0,045 | 1,000 |
| par-29 | 0,000 | -0,000 | 0,001 | -0,000 | 0,016 | -0,016 | -0,001 |
| par-30 | -0,000 | -0,000 | -0,000 | 0,000 | -0,006 | 0,003 | 0,003 |
| par-31 | -0,000 | 0,000 | -0,000 | 0,000 | -0,010 | 0,013 | -0,002 |

| | par-29 | par-30 | par-31 |
|--|--------|--------|--------|
|--|--------|--------|--------|

| | | | |
|--------|--------|--------|-------|
| par-29 | 1,000 | | |
| par-30 | -0,145 | 1,000 | |
| par-31 | -0,295 | -0,133 | 1,000 |

Critical Ratios for Differences between Parameters

| | par-1 | par-2 | par-3 | par-4 | par-5 | par-6 | par-7 |
|--------|---------|---------|---------|---------|---------|---------|--------|
| par-1 | 0,000 | | | | | | |
| par-2 | -3,011 | 0,000 | | | | | |
| par-3 | -3,888 | -0,675 | 0,000 | | | | |
| par-4 | -1,000 | 1,535 | 2,099 | 0,000 | | | |
| par-5 | -0,575 | 1,873 | 2,452 | 0,487 | 0,000 | | |
| par-6 | -0,395 | 1,854 | 2,384 | 0,444 | 0,110 | 0,000 | |
| par-7 | -2,002 | 0,380 | 0,821 | -1,021 | -1,338 | -1,678 | 0,000 |
| par-8 | -0,140 | 1,587 | 1,972 | 0,480 | 0,222 | 0,132 | 1,223 |
| par-9 | 0,497 | 2,157 | 2,554 | 1,069 | 0,812 | 0,702 | 1,771 |
| par-10 | -8,089 | -5,170 | -4,953 | -6,530 | -6,785 | -6,096 | -4,933 |
| par-11 | -4,725 | -2,401 | -2,113 | -3,985 | -4,346 | -3,707 | -2,512 |
| par-12 | -6,248 | -3,618 | -3,361 | -4,992 | -5,271 | -5,644 | -4,046 |
| par-13 | -11,809 | -7,280 | -7,175 | -8,847 | -9,137 | -8,791 | -7,017 |
| par-14 | -15,744 | -8,318 | -8,444 | -11,126 | -11,497 | -10,397 | -8,026 |
| par-15 | -2,713 | -0,718 | -0,386 | -2,006 | -2,279 | -2,266 | -1,029 |
| par-16 | -3,310 | -1,181 | -0,858 | -2,084 | -2,293 | -2,641 | -1,433 |
| par-17 | -5,683 | -2,837 | -2,538 | -4,321 | -4,577 | -3,792 | -2,655 |
| par-18 | -6,701 | -3,645 | -3,375 | -5,184 | -5,482 | -5,171 | -3,713 |
| par-19 | -26,309 | -11,116 | -11,606 | -13,453 | -13,818 | -12,297 | -9,673 |
| par-20 | -16,834 | -9,509 | -9,799 | -12,777 | -13,150 | -11,725 | -9,145 |
| par-21 | -11,134 | -5,701 | -5,623 | -8,076 | -8,445 | -7,780 | -5,716 |
| par-22 | -13,228 | -6,783 | -6,701 | -9,322 | -9,699 | -8,831 | -6,606 |
| par-23 | -17,078 | -8,847 | -9,034 | -12,748 | -13,497 | -10,729 | -8,288 |
| par-24 | -17,238 | -8,777 | -8,969 | -10,703 | -11,884 | -10,668 | -8,215 |
| par-25 | -17,538 | -8,977 | -9,189 | -11,539 | -11,001 | -10,788 | -8,356 |
| par-26 | -15,829 | -8,558 | -8,678 | -11,069 | -11,488 | -12,844 | -9,093 |
| par-27 | -15,122 | -8,020 | -8,095 | -10,486 | -10,818 | -8,652 | -7,349 |
| par-28 | -11,505 | -6,004 | -5,887 | -8,187 | -8,538 | -7,808 | -5,456 |
| par-29 | -13,177 | -7,177 | -7,151 | -9,447 | -9,807 | -9,059 | -6,907 |
| par-30 | -11,692 | -6,280 | -6,177 | -8,435 | -8,791 | -8,113 | -6,093 |
| par-31 | -13,080 | -7,168 | -7,138 | -9,420 | -9,776 | -8,960 | -6,884 |

| | par-8 | par-9 | par-10 | par-11 | par-12 | par-13 | par-14 |
|--------|--------|--------|--------|--------|--------|--------|--------|
| par-8 | 0,000 | | | | | | |
| par-9 | 0,676 | 0,000 | | | | | |
| par-10 | -5,536 | -6,026 | 0,000 | | | | |
| par-11 | -3,364 | -3,857 | 2,078 | 0,000 | | | |
| par-12 | -4,004 | -4,388 | 1,236 | -0,949 | 0,000 | | |
| par-13 | -6,981 | -7,517 | -0,917 | -3,341 | -2,376 | 0,000 | |
| par-14 | -7,477 | -8,070 | -0,604 | -3,450 | -2,307 | 0,630 | 0,000 |
| par-15 | -2,012 | -2,514 | 3,673 | 1,451 | 2,445 | 5,459 | 5,471 |
| par-16 | -2,345 | -2,835 | 3,209 | 0,956 | 1,979 | 4,866 | 4,677 |
| par-17 | -3,723 | -4,251 | 2,396 | -0,106 | 0,871 | 3,673 | 3,922 |
| par-18 | -3,609 | -3,994 | 1,697 | -0,731 | 0,312 | 2,977 | 3,092 |
| par-19 | -8,617 | -9,211 | -1,791 | -4,585 | -3,512 | -0,898 | -2,851 |
| par-20 | -8,227 | -8,825 | -1,311 | -4,206 | -3,061 | -0,249 | -1,896 |
| par-21 | -5,800 | -6,391 | 1,083 | -1,738 | -0,555 | 2,693 | 5,198 |
| par-22 | -6,434 | -7,031 | 0,535 | -2,338 | -1,153 | 2,083 | 4,048 |
| par-23 | -7,647 | -8,241 | -0,755 | -3,707 | -2,469 | 0,455 | -0,334 |
| par-24 | -7,573 | -8,171 | -0,628 | -3,513 | -2,357 | 0,639 | -0,028 |

| | | | | | | | |
|--------|--------|--------|--------|--------|--------|-------|--------|
| par-25 | -7,702 | -8,299 | -0,785 | -3,589 | -2,504 | 0,436 | -0,399 |
| par-26 | -7,581 | -8,173 | -0,752 | -3,588 | -2,650 | 0,363 | -0,419 |
| par-27 | -7,165 | -7,745 | -0,364 | -3,164 | -1,966 | 0,949 | 0,539 |
| par-28 | -5,907 | -6,498 | 0,917 | -1,882 | -0,707 | 2,466 | 2,818 |
| par-29 | -7,609 | -8,526 | 0,018 | -2,737 | -1,548 | 1,348 | 1,153 |
| par-30 | -5,583 | -6,688 | 0,609 | -2,143 | -1,011 | 2,060 | 2,185 |
| par-31 | -6,590 | -6,454 | -0,010 | -2,757 | -1,696 | 1,304 | 1,082 |

| | par-15 | par-16 | par-17 | par-18 | par-19 | par-20 | par-21 |
|--|--------|--------|--------|--------|--------|--------|--------|
|--|--------|--------|--------|--------|--------|--------|--------|

| | | | | | | | |
|--------|--------|--------|--------|--------|-------|-------|--------|
| par-15 | 0,000 | | | | | | |
| par-16 | -0,400 | 0,000 | | | | | |
| par-17 | -1,683 | -1,212 | 0,000 | | | | |
| par-18 | -2,334 | -1,834 | -0,707 | 0,000 | | | |
| par-19 | -6,464 | -5,834 | -5,359 | -4,549 | 0,000 | | |
| par-20 | -6,404 | -5,420 | -4,846 | -4,018 | 1,220 | 0,000 | |
| par-21 | -3,659 | -2,982 | -1,876 | -1,038 | 5,748 | 5,199 | 0,000 |
| par-22 | -4,316 | -3,593 | -2,597 | -1,747 | 5,379 | 4,643 | -1,228 |
| par-23 | -5,608 | -4,640 | -4,088 | -3,294 | 2,841 | 1,533 | -3,618 |
| par-24 | -5,518 | -4,789 | -3,983 | -3,169 | 3,427 | 2,029 | -3,454 |
| par-25 | -5,662 | -4,980 | -4,218 | -3,348 | 2,957 | 1,562 | -3,751 |
| par-26 | -5,540 | -4,791 | -3,697 | -3,172 | 2,223 | 1,142 | -3,433 |
| par-27 | -5,118 | -4,395 | -3,739 | -2,781 | 3,381 | 2,272 | -2,630 |
| par-28 | -3,763 | -3,117 | -2,078 | -1,227 | 5,402 | 4,484 | -0,283 |
| par-29 | -4,638 | -3,953 | -3,038 | -2,011 | 3,600 | 2,674 | -1,797 |
| par-30 | -4,011 | -3,361 | -2,342 | -1,580 | 4,578 | 3,708 | -0,755 |
| par-31 | -4,647 | -3,965 | -3,062 | -2,373 | 3,473 | 2,565 | -1,824 |

| | par-22 | par-23 | par-24 | par-25 | par-26 | par-27 | par-28 |
|--|--------|--------|--------|--------|--------|--------|--------|
|--|--------|--------|--------|--------|--------|--------|--------|

| | | | | | | | |
|--------|--------|--------|--------|--------|-------|-------|--------|
| par-22 | 0,000 | | | | | | |
| par-23 | -2,844 | 0,000 | | | | | |
| par-24 | -2,644 | 0,318 | 0,000 | | | | |
| par-25 | -2,988 | -0,048 | -0,385 | 0,000 | | | |
| par-26 | -2,670 | -0,128 | -0,427 | -0,084 | 0,000 | | |
| par-27 | -1,772 | 0,868 | 0,605 | 0,956 | 0,754 | 0,000 | |
| par-28 | 0,716 | 3,167 | 2,990 | 3,289 | 2,871 | 2,204 | 0,000 |
| par-29 | -0,924 | 1,458 | 1,241 | 1,535 | 1,456 | 0,643 | -1,474 |
| par-30 | 0,174 | 2,501 | 2,318 | 2,595 | 2,411 | 1,668 | -0,470 |
| par-31 | -0,963 | 1,380 | 1,164 | 1,454 | 1,367 | 0,592 | -1,503 |

| | par-29 | par-30 | par-31 |
|--|--------|--------|--------|
|--|--------|--------|--------|

| | | | |
|--------|--------|--------|-------|
| par-29 | 0,000 | | |
| par-30 | 0,898 | 0,000 | |
| par-31 | -0,041 | -0,936 | 0,000 |

Summary of models

| Model | NPAR | CMIN | DF | P | CMIN/DF |
|--------------------|------|----------|----|-------|---------|
| Default model | 31 | 69,839 | 60 | 0,181 | 1,164 |
| Saturated model | 91 | 0,000 | 0 | | |
| Independence model | 13 | 1194,821 | 78 | 0,000 | 15,318 |

| Model | RMR | GFI | AGFI | PGFI |
|--------------------|-------|-------|-------|-------|
| Default model | 0,050 | 0,915 | 0,871 | 0,603 |
| Saturated model | 0,000 | 1,000 | | |
| Independence model | 0,251 | 0,338 | 0,227 | 0,289 |

| Model | DELTA1 | RHO1 | DELTA2 | RHO2 |
|--------------------|--------|-------|--------|-------|
| | NFI | RFI | IFI | CFI |
| Default model | 0,942 | 0,924 | 0,991 | 0,989 |
| Saturated model | 1,000 | | 1,000 | 1,000 |
| Independence model | 0,000 | 0,000 | 0,000 | 0,000 |

| Model | PRATIO | PNFI | PCFI |
|--------------------|--------|-------|-------|
| Default model | 0,769 | 0,724 | 0,762 |
| Saturated model | 0,000 | 0,000 | 0,000 |
| Independence model | 1,000 | 0,000 | 0,000 |

| Model | NCP | LO 90 | HI 90 |
|--------------------|----------|----------|----------|
| Default model | 9,839 | 0,000 | 34,802 |
| Saturated model | 0,000 | 0,000 | 0,000 |
| Independence model | 1116,821 | 1008,649 | 1232,408 |

| Model | FMIN | F0 | LO 90 | HI 90 |
|--------------------|--------|--------|-------|--------|
| Default model | 0,635 | 0,089 | 0,000 | 0,316 |
| Saturated model | 0,000 | 0,000 | 0,000 | 0,000 |
| Independence model | 10,862 | 10,153 | 9,170 | 11,204 |

| Model | RMSEA | LO 90 | HI 90 | PCLOSE |
|--------------------|-------|-------|-------|--------|
| Default model | 0,039 | 0,000 | 0,073 | 0,672 |
| Independence model | 0,361 | 0,343 | 0,379 | 0,000 |

| Model | AIC | BCC | BIC | CAIC |
|--------------------|----------|----------|----------|----------|
| Default model | 131,839 | 140,881 | 295,348 | 246,835 |
| Saturated model | 182,000 | 208,542 | 661,978 | 519,567 |
| Independence model | 1220,821 | 1224,613 | 1289,389 | 1269,045 |

| Model | ECVI | LO 90 | HI 90 | MECVI |
|--------------------|--------|--------|--------|--------|
| Default model | 1,199 | 1,109 | 1,425 | 1,281 |
| Saturated model | 1,655 | 1,655 | 1,655 | 1,896 |
| Independence model | 11,098 | 10,115 | 12,149 | 11,133 |

| Model | HOELTER | HOELTER |
|--------------------|---------|---------|
| | .05 | .01 |
| Default model | 125 | 140 |
| Independence model | 10 | 11 |

Execution time summary:

Minimization: 0,100
 Miscellaneous: 3,155
 Bootstrap: 0,000
 Total: 3,255